

01. Mai 1984

Diplomarbeit

Untersuchung von Vektorquantisierern in  
Baumstruktur für die Quantisierung von  
Sprach- und Residualsignalen.

*W. Endres*

Bearbeiter:	Meyer, Jochen	D 2065 EA
Betreuer:	Dr. Braun, FTZ Prof. Dr. rer. nat. Endres	
ausgestellt am:	01. Mai 1984	
Einlieferungstermin:	31. Juli 1984	

Erklärung

=====

Ich versichere, daß ich die vorliegende Diplomarbeit  
ohne fremde Hilfe und nur unter Verwendung der im  
Verzeichnis angegebenen Literatur angefertigt habe.

Darmstadt, im Juli 1984

Jochen Meyer

Hiermit möchte ich Dr. Braun meinen herzlichsten Dank für die freundliche Betreuung meiner Diplomarbeit aussprechen.

Ein Danke-Schön auch an Prof. Endres, der es mir ermöglichte, die Arbeit im angenehmen Betriebsklima des Forschungsinstituts der Deutschen Bundespost anzufertigen.

Mein Dank gilt auch allen Mitarbeitern der Abteilung, die mir bei vielen Problemen mit Rat und Tat zur Seite standen.

Nicht zuletzt möchte ich mich noch bei der VAX bedanken, die über vier Wochen Tag und Nacht und sogar an den Wochenenden mehr als 150 Codebücher errechnete.

Darmstadt, im Juli 1984

*Jochen Meyer*

1	Einleitung.....	1
1.1	Vektorquantisierung.....	1
1.2	Vektorquantisierung in Baumstruktur.....	5
1.3	Anwendungen der Vektorquantisierung.....	10
1.4	Vorangegangene Untersuchungen.....	11
2	Algorithmen zur Erzeugung von Codebüchern.....	12
2.1	Braun/Lochschmidt-Algorithmus.....	15
2.2	Linde/Buzo/Gray-Algorithmus.....	17
3	Experimente.....	19
3.1	Voruntersuchungen.....	20
3.2	Untersuchung aller 16er Codebücher.....	23
3.3	Untersuchung größerer Codebücher.....	24
3.4	Variation des Algorithmus.....	25
3.5	Optimale Bäume.....	26
4	Untersuchungen mit Residualsignalen.....	27
5	Aufwandsbetrachtungen.....	30
6	Zusammenfassung und Ausblick.....	33
7	Literaturverzeichnis.....	34
8	Anhang.....	35
8.1	Programme.....	35
8.2	Ergebnisse der Untersuchungen.....	45
8.3	Verzeichnis der benutzten Formelzeichen.....	52

1 Einleitung

=====

1.1 Vektorquantisierung

-----

Bei der VEKTORQUANTISIERUNG (VQ) handelt es sich um ein Verfahren zur REDUNDANZREDUKTION.

Ein Beispiel soll dies verdeutlichen: Für die digitale Übertragung von Sprache wird üblicherweise die Pulsmodulation (PCM) verwendet. Man benötigt für eine ausreichende Sprachqualität eine Abtastfrequenz von 8 kHz und bei linearer Quantisierung eine Amplitudenauflösung von 12 Bit (CCITT-Empfehlungen). Daraus errechnet sich eine Datenrate von 96 kBit/s, ein Vielfaches derjenigen Information, die tatsächlich mit der Sprache übertragen wird.

Die Datenrate läßt sich auf folgende Weise senken: Man faßt  $k$  aufeinanderfolgende Abtastwerte (Samples)  $x_1, x_2, x_3, \dots, x_k$  zu einem Vektor  $\vec{X}_1 = (x_1, x_2, x_3, \dots, x_k)$  zusammen. Eine gegebene Folge von Abtastwerten  $x_1, x_2, x_3, \dots$  entspricht einer Folge von Vektoren  $\vec{X}_1, \vec{X}_2, \vec{X}_3, \dots$  mit:

$$\vec{X}_i = (x_{k(i-1)+1}, x_{k(i-1)+2}, x_{k(i-1)+3}, \dots, x_{k(i-1)+k}),$$

$$i = 1, 2, 3, \dots \quad (1.1, 1)$$

Die Vektoren können im  $k$ -dimensionalen Raum dargestellt werden. Da aufeinanderfolgende Abtastwerte nicht statistisch unabhängig voneinander sind, sondern innere Bindungen aufweisen, sind die Endpunkte der Vektoren nicht gleichmäßig im Raum verteilt. Es gibt Häufungspunkte, die auch Wolken oder Cluster genannt werden.

Wenn die Vektoren in  $N$  Wolken aufgeteilt werden, können alle  $n_j$  Vektoren der Wolke  $j$   $\vec{X}_{j1}, \vec{X}_{j2}, \vec{X}_{j3}, \dots, \vec{X}_{jn_j}$  durch ihren gemeinsamen Mittelwert

$$\vec{Y}_j = \frac{1}{n_j} \sum_{i=1}^{n_j} \vec{X}_{ji}, \quad j = 1, 2, 3, \dots, N \quad (1.1, 2)$$

ersetzt werden. Dadurch wird natürlich das ursprüngliche Sprachsignal verfälscht.

Für jede Wolke existiert genau ein repräsentativer Vektor. Die Liste mit allen  $N$  Mittelwertvektoren ist das CODEBUCH  $\vec{A}$ . Es muß vor der Übertragung aus einem Trainingssignal berechnet werden:

$$\vec{A} = ( \vec{Y}_1, \vec{Y}_2, \vec{Y}_3, \dots, \vec{Y}_N ) \quad (1.1, 3)$$

Statt dem Vektor  $\vec{Y}_j$  wird nur noch seine Nummer  $j$  übertragen. Der Empfänger setzt dann mit Hilfe des Codebuchs die Zeitfunktion zusammen. Für die Übertragung der Codebuchvektor-Adresse werden

$$R = \text{ld } N \text{ Bit} \quad (1.1, 4)$$

benötigt. Anstelle des Abtastwertes müssen

$$r = \frac{R}{k} \text{ Bit} \quad (1.1, 5)$$

übertragen werden. Bei einer Vektorlänge von  $k = 8$  Samples/Vektor und einer Codebuchgröße von  $N = 256$  errechnet sich eine Datenrate von  $r = 1$  Bit/Sample. Das entspricht bei einer Abtastfrequenz von 8 kHz einem Informationsfluß von 8 kBit/s, dem zwölften Teil der anfangs erwähnten Datenrate.

Leider versagt das menschliche Vorstellungsvermögen bei  $k$ -dimensionalen Räumen für  $k > 3$ . Deshalb ist eine andere Darstellung der Vektoren günstiger, nämlich als Folge von Abtastwerten. Bild 1.1, 1 zeigt für eine Vektorlänge von  $k = 8$  Samples/Vektor ein Codebuch der Größe  $N = 16$ .

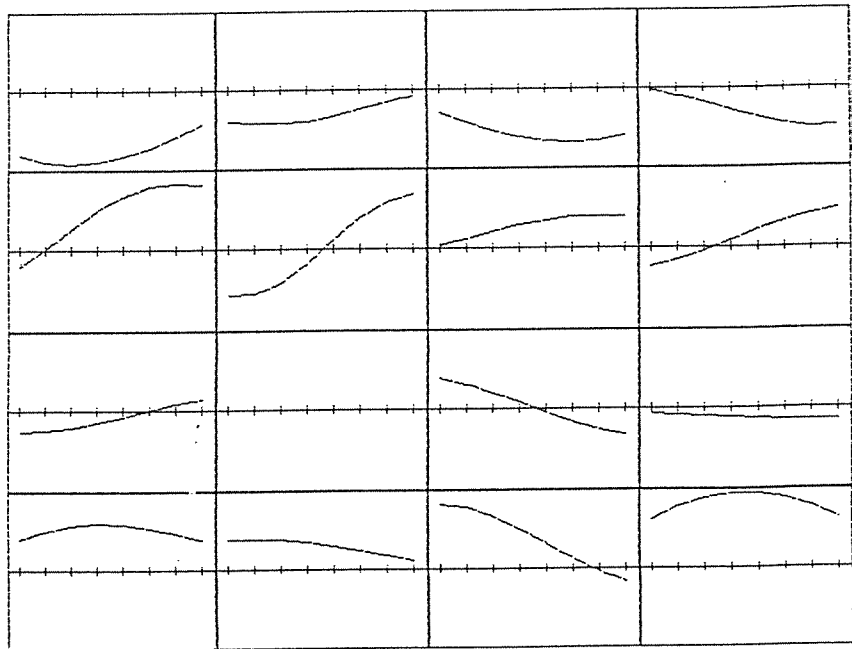


Bild 1.1, 1 Codebuch der Größe 16,  
Vektorlänge: 8 Samples/Vektor

Die Quantisierung einer Zeitfunktion (Bild 1.1, 2) mit diesem Sortiment von 16 Abtastwertfolgen zeigt Bild 1.1, 3. Man erkennt deutliche Verfälschungen des ursprünglichen Signals. Bild 1.1, 4 zeigt die entsprechende Quantisierung mit einem Codebuch der Größe 1024. Die Zeitfunktion wird erheblich besser angenähert.



Bild 1.1, 2 Ausschnitt von 10 ms aus einer Sprachprobe

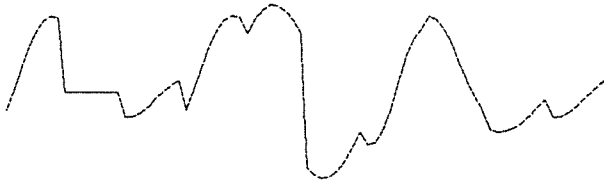


Bild 1.1, 3 Vektorquantisierung des obigen Ausschnittes,  
Vektorlänge : 8 Samples/Vektor,  
Codebuchgröße: 16

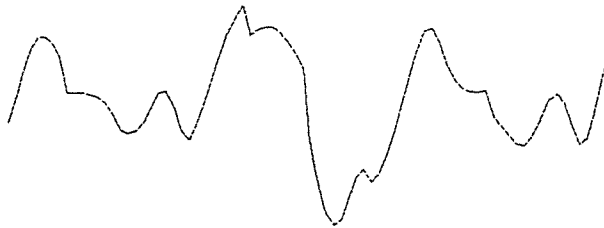


Bild 1.1, 4 Vektorquantisierung des obigen Ausschnittes,  
Vektorlänge : 8 Samples/Vektor,  
Codebuchgröße: 1024

Allgemein läßt sich über die Vektorquantisierung folgendes sagen, wenn man anstelle von Abtastwertfolgen beliebig vorgegebene Muster quantisieren will:

Das Grundproblem der Vektorquantisierung ist, mit möglichst wenigen repräsentativen Mustern gegebene Muster möglichst gut anzunähern.

Dazu müssen optimale Codebücher vorhanden sein.



## 1.2 Vektorquantisierung in Baumstruktur

-----

Im Codierteil des Vektorquantisierungersystems wird einem gegebenen Vektor  $\vec{X}_i$  derjenige Codebuchvektor  $\vec{Y}_j$  zugeordnet, der ihn am besten annähert:

$$\vec{Y}_j = VQ(\vec{X}_i) \quad (1.2, 1)$$

Dazu muß der Abstand der Vektoren  $\vec{X}_i$  und  $\vec{Y}_j$

$$d(\vec{X}_i, \vec{Y}_j) = \left| \vec{X}_i - \vec{Y}_j \right| = \sqrt{\sum_{l=1}^k (x_{il} - y_{jl})^2} \quad (1.2, 2)$$

minimal sein:

$$d(\vec{X}_i, \vec{Y}_j) \leq d(\vec{X}_i, \vec{Y}_n), \quad n = 1, 2, 3, \dots, N \quad (1.2, 3)$$

Der Repräsentant  $\vec{Y}_j$  ist erst dann bekannt, wenn alle N Abstände berechnet und verglichen wurden.

Der Rechenaufwand bei der Quantisierung kann stark verringert werden, wenn nicht alle N Abstände berechnet werden müssen (Full-Search, FS), sondern ein gezielter Suchbaum verfolgt wird (Tree-Search, TS). Bild 1.2, 1 zeigt einen möglichen Baum für ein Codebuch der Größe 16. Auf der ersten Knotenebene müssen vier Abstände berechnet werden, auf der zweiten ebenfalls vier. Insgesamt werden hier nur acht Abstände errechnet, halb so viele wie bei einem Full-Search-Codebuch gleicher Größe.

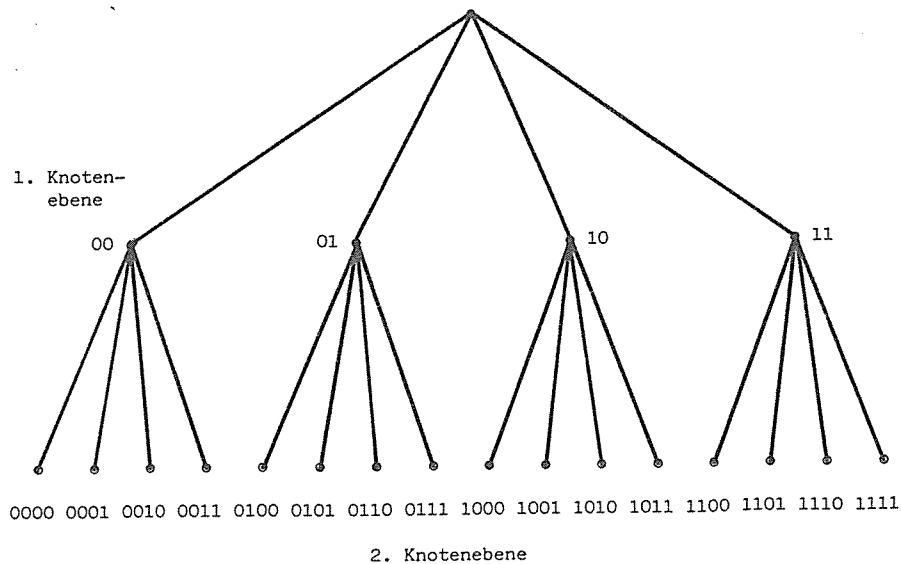


Bild 1.2, 1 Eine mögliche Baumstruktur für eine Codebuchgröße von 16

Die Zahl der möglichen Baumstrukturen ist sehr hoch. Ich habe mich auf solche Bäume beschränkt, bei denen sich alle Knoten einer Knotenebene in gleich viele Knoten aufspalten und die Zahl der Aufspaltungen eine Zweierpotenz ist. Mit diesen Nebenbedingungen lassen sich alle Baumstrukturen mit  $m$  Knotenebenen leicht beschreiben:  $N'_i$  sei die Zahl der Aufspaltungen eines Knotens der Ebene  $(i-1)$ . Dann ist

$$R'_i = \lg N'_i \text{ Bit, } i = 1, 2, 3, \dots, m \quad (1.2, 4)$$

die Zahl der binären Entscheidungen, die getroffen werden müssen, um von einem Knoten der Ebene  $(i-1)$  zu einem bestimmten Knoten der Ebene  $i$  zu gelangen. Die Ebene  $i = 0$  ist der Ursprungsknoten. Der Vektor

$$\vec{B} = ( R'_1, R'_2, R'_3, \dots, R'_m ) \quad (1.2, 5)$$

beschreibt jede zugelassene Baumstruktur eindeutig. Beispielsweise hat der Baum von Bild 1.2, 1 die Struktur  $\vec{B} = ( 2, 2 )$ .

Insgesamt müssen

$$R_i = \sum_{j=1}^i R'_j, \quad i = 1, 2, 3, \dots, m \quad (1.2, 6)$$

binäre Entscheidungen getroffen werden, um auf die  $i$ -te Ebene zu gelangen. Die Knotenebene  $i$  umfaßt

$$N_i = 2^{R_i}, \quad i = 1, 2, 3, \dots, m \quad (1.2, 7)$$

Knoten. Die letzte Ebene  $i = m$  gibt die Codebuchgröße an:

$$N = N_m \quad (1.2, 8)$$

Es werden insgesamt

$$R = R_m \quad (1.2, 9)$$

binäre Entscheidungen getroffen. Alle Vektoren der Ebene  $i$  werden zu dem Codebuch

$$\vec{A}_i = ( \vec{Y}_1, \vec{Y}_2, \vec{Y}_3, \dots, \vec{Y}_{N_i} ), \quad i = 1, 2, 3, \dots, m \quad (1.2, 10)$$

zusammengefaßt. Die Codebücher aller Ebenen sind im baumstrukturierten Codebuch

$$\vec{C} = ( \vec{A}_1, \vec{A}_2, \vec{A}_3, \dots, \vec{A}_m ) \quad (1.2, 11)$$

enthalten.

Nach diesen Definitionen kann nun allgemein die Anzahl der zu berechnenden Abstände bestimmt werden:

$$n_d = \sum_{i=1}^m N'_i \quad (1.2, 12)$$

Im Codebuchspeicher sind

$$M = \sum_{i=1}^m N_i \quad (1.2, 13)$$

Vektoren enthalten.

Die Bilder 1.2, 2 und 1.2, 3 zeigen ein Codebuch mit der Baumstruktur von Bild 1.2, 1. Die Vektoren sind der Reihe nach mit aufsteigenden Nummern von links nach rechts und von oben nach unten sortiert. Auf der ersten Ebene werden die Sprachsignalvektoren grob vorsortiert, danach erfolgt die Bestimmung des Repräsentanten. Soll beispielsweise der Vektor

$$\vec{X}_1 = ( 0, 0, 0, 0, 0, 0, 0, 0 )$$

quantisiert werden, wird zuerst der passendste Vektor der ersten Ebene ausgesucht. Der linke untere Vektor  $\vec{Y}_3$  in Bild 1.2, 2 ist der gesuchte und entspricht in Bild 1.2, 1 dem Knoten "10". Danach stehen in Bild 1.2, 3 alle Vektoren der dritten Zeile zur Auswahl.  $\vec{Y}_{10}$  ist der gesuchte optimale Vektor (der zweite in der dritten Zeile), der dem Knoten "1001" entspricht.

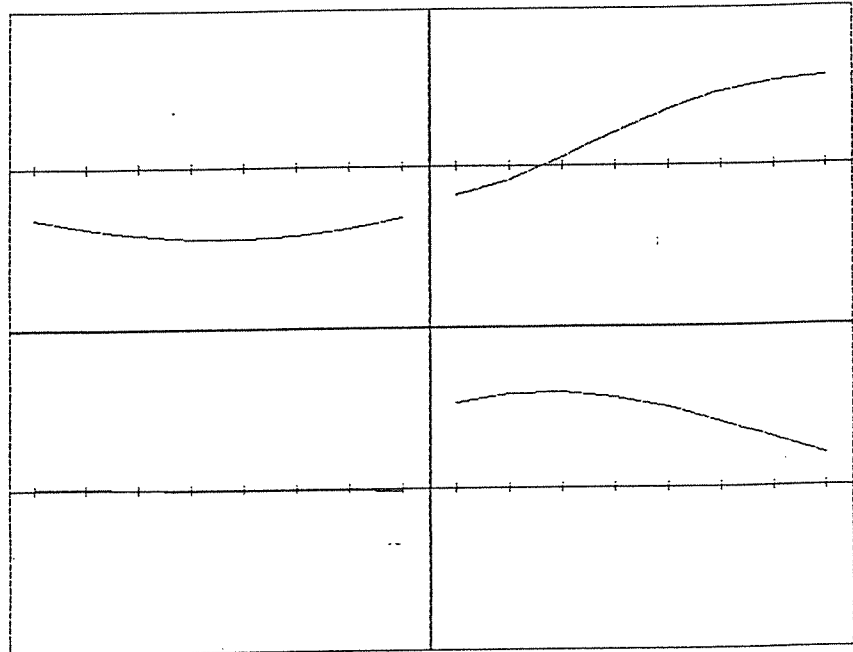


Bild 1.2, 2 Baumstrukturiertes Codebuch der Größe 16,  
Baumstruktur von Bild 1.2, 1, erste Knotenebene

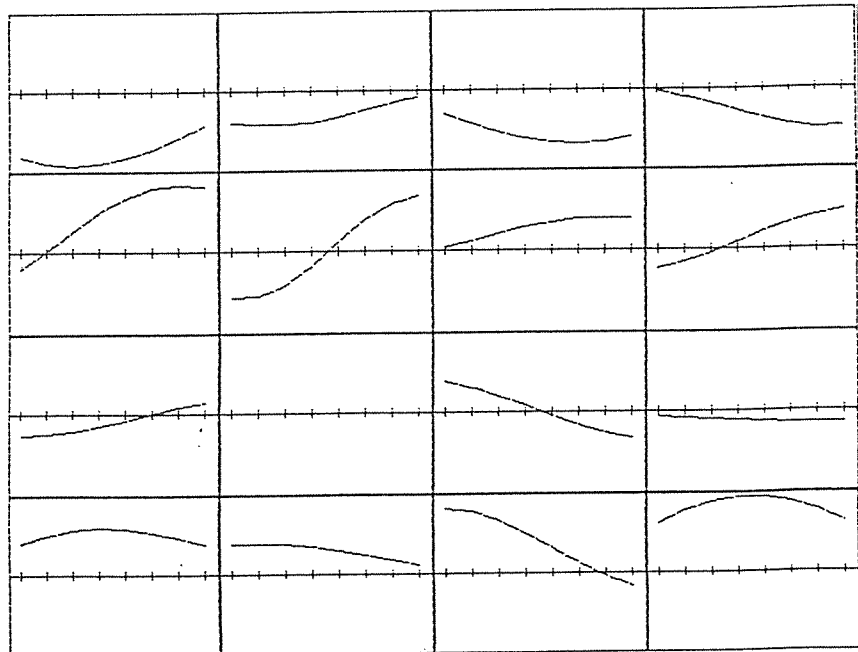


Bild 1.2, 3 Baumstrukturiertes Codebuch der Größe 16,  
Baumstruktur von Bild 1.2, 1, zweite Knotenebene

### 1.3 Anwendungen der Vektorquantisierung

-----

Bestehende digitale Telefon-Übertragungssysteme könnten besser genutzt werden, wenn vektorquantisierende Codierer und Decodierer vor- und nachgeschaltet würden. Dadurch wird weniger redundante Information übertragen. Allerdings ist es unwahrscheinlich, daß sich reine Vektorquantisierer durchsetzen. Der technische Aufwand für einen akzeptablen Störabstand ist wegen der umfangreichen Codebücher zu groß. Momentan scheint eine Kombination von linearer Prädiktion und Vektorquantisierung (RELQ-VQ-Verfahren) ein vernünftiger Kompromiß zwischen erzielter Redundanzreduktion, technischem Aufwand und Übertragungsgüte zu sein /4/.

Durch die Vektorquantisierung wird dem Sprachsignal ein Stör-signal überlagert, das im wesentlichen weißes Rauschen ist. Das Spektrum der Sprache dagegen ist gefärbt. Störungen in energiereichen Frequenzbereichen fallen viel weniger auf als in energiearmen. Dieser psychoakustische Effekt der Überdeckung wird beim RELQ-VQ-Verfahren ausgenutzt, indem die Störenergie spektral so umverteilt wird, daß sie unter energiereichen Komponenten des Sprachsignals liegt und somit weitgehend verdeckt wird. Dadurch benötigt man für die gleiche Übertragungsgüte kleinere Codebücher als bei reiner Vektorquantisierung.

Bei der linearen Prädiktion werden blockweise die Prädiktionskoeffizienten ermittelt, indem die Differenz zwischen dem Sprach- und dem vorhergesagten Signal, das sogenannte RESIDUALSIGNAL, minimiert wird. Seine spektrale Energieverteilung ist im wesentlichen weiß. Im Decodierer wird aus den Prädiktionskoeffizienten und dem Residualsignal das ursprüngliche Signal wiedergewonnen.

Beim RELQ-VQ-Verfahren werden die Prädiktionskoeffizienten und das Residualsignal vektorquantisiert übertragen. Dem Residualsignal wird dadurch ein Störsignal überlagert. Da die Spektren beider Signale weiß sind, werden alle Frequenzanteile gleichmäßig gestört. Nach dem Decodieren ist in energiereichen Frequenzbereichen auch die größte Störenergie.

Auch auf anderen Gebieten ist die Einführung der Vektorquantisierung denkbar. Beispielsweise könnte beim digitalen Fernsehen das Bild aus Grundmustern zusammengesetzt werden, wobei hier zweidimensionale Zahlenfelder (Matrizen) quantisiert werden müßten.

#### 1.4 Vorangegangene Untersuchungen

-----

Gray und Linde haben die Vektorquantisierung in Baumstruktur mit Signalen im Zeitbereich untersucht /1/. Allerdings verwendeten sie für ihre Experimente ein Trainingssignal aus einer Gauss-Markov-Quelle und eine höhere Abtastfrequenz als 8 kHz, so daß ein Vergleich der Ergebnisse nicht ohne weiteres möglich ist. Eine systematische Untersuchung der möglichen Baumstrukturen wurde nicht durchgeführt.

Wong, Juang und Gray dagegen haben einige Baumstrukturen untersucht /3/. Allerdings quantisierten sie Spektren. Abtastwertfolgen haben andere statistische Verteilungen im k-dimensionalen Raum als entsprechende Spektren. Deshalb unterscheiden sich die Untersuchungsergebnisse.

Halaski und Fasshauer untersuchten Full-Search-Codebücher /4/. Ein Vergleich ihrer Ergebnisse mit meinen eigenen ist möglich, da die Nebenbedingungen der Experimente (Abtastrate und Trainingssignal) übereinstimmen.

2            Algorithmen zur Erzeugung von Codebüchern

=====

Bei der Vektorquantisierung werden optimale Codebücher benötigt. Es sind einige Algorithmen bekannt, mit denen nach Vorgabe der Vektorlänge  $k$  und der Codebuchgröße  $N$  aus gegebenen Trainingsvektoren  $\vec{x}_1, \vec{x}_2, \vec{x}_3, \dots, \vec{x}_L$ , die nach (1.1, 1) einer Folge von Samples  $x_1, x_2, x_3, \dots, x_{kL}$  entsprechen, Codebücher berechnet werden können. Die Algorithmen unterscheiden sich im Programmieraufwand, der benötigten Rechenzeit und der Güte der erzeugten Codebücher.

Die Güte eines Codebuchs wird durch das Signal/Rauschverhältnis SNR bestimmt. Dazu muß vorher der Gleichspannungsanteil

$$\bar{x} = \frac{1}{kL} \sum_{i=1}^{kL} x_i \quad (2, 1)$$

und die Energie des Signals bekannt sein:

$$E_{\text{sig}} = \sum_{i=1}^{kL} (x_i - \bar{x})^2 \quad (2, 2)$$



Nach Vergleich mit (1.2, 2) läßt sich die Signalenergie mit  $\vec{X}_= = ( \bar{x}, \bar{x}, \bar{x}, \dots, \bar{x} )$  auch noch anders ausdrücken:

$$E_{\text{sig}} = \sum_{i=1}^L d^2( \vec{X}_i, \vec{X}_= ) \quad (2, 3)$$

Zur Berechnung der Störenergie  $E_{\text{dif}}$  muß statt dem Gleichspannungsanteil das quantisierte Signal subtrahiert werden. Analog zu (2, 2) und (2, 3) ergibt sich mit (1.2, 1):

$$E_{\text{dif}} = \sum_{i=1}^L d^2( \vec{X}_i, \text{VQ}( \vec{X}_i ) ) \quad (2, 4)$$

Das Signal/Rauschverhältnis ist hiernach bekannt:

$$\text{SNR} = 10 \lg \frac{E_{\text{sig}}}{E_{\text{dif}}} \text{ dB} \quad (2, 5)$$

Ist ein Algorithmus zur Erzeugung von Full-Search-Codebüchern gegeben, kann nach dem Schema von Bild 2, 1 ein Tree-Search-Codebuch berechnet werden, wenn die Baumstruktur  $\vec{B}$  vorgegeben ist.

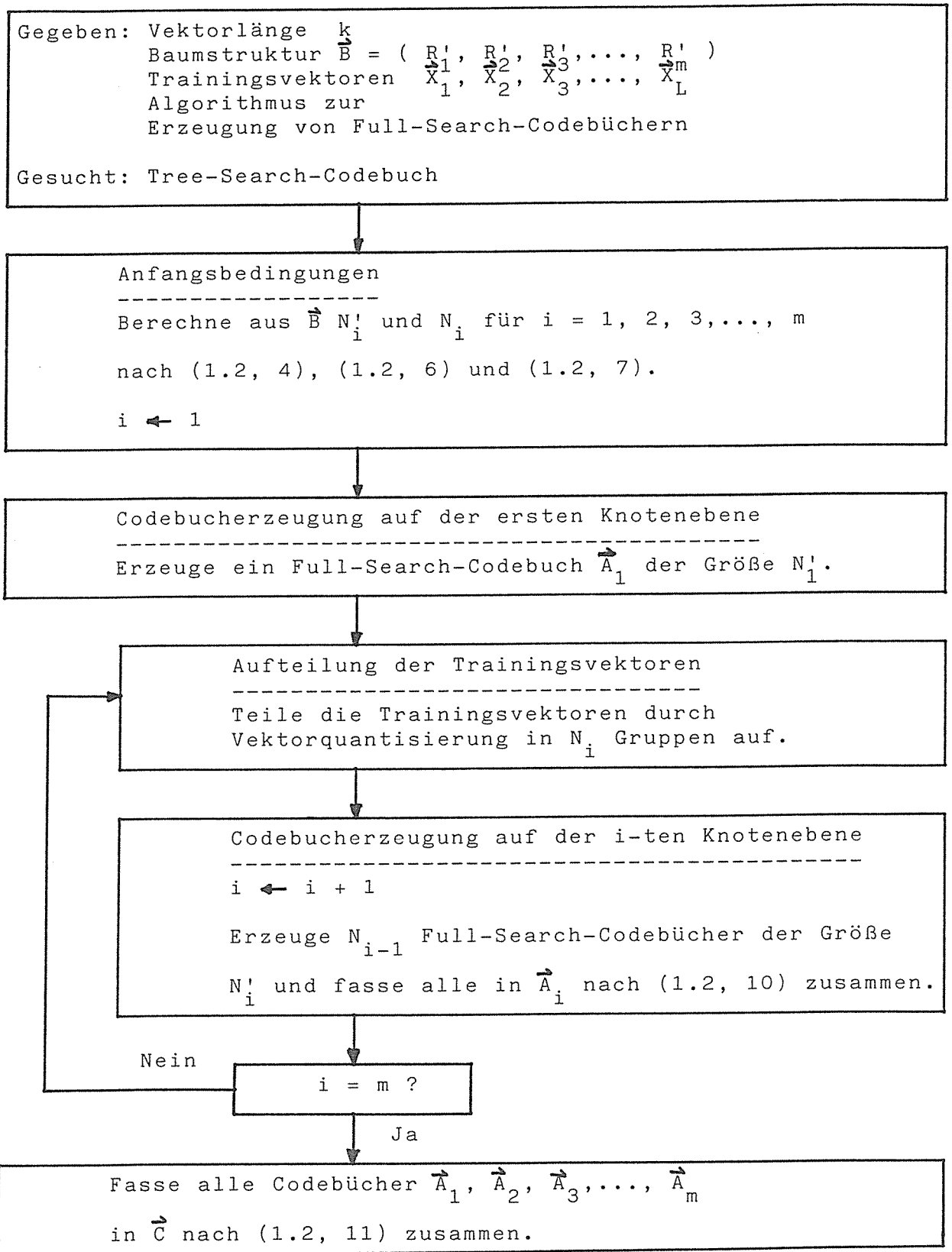


Bild 2, 1 Algorithmus zur Erzeugung eines baumstrukturierten Codebuchs

2.1 Braun/Lochschmidt-Algorithmus<sup>\*)</sup>

-----  
Halaski und Fasshauer benutzten in ihrer Arbeit folgenden Algorithmus, der Full-Search-Codebücher in zwei Stufen berechnet /4/: Zuerst wird aus den Trainingsdaten eine Anfangsnäherung ermittelt, die dann durch ein Iterationsverfahren schrittweise verbessert wird.

Gegeben sind die Vektorlänge  $k$ , die Codebuchgröße  $N$  und die Trainingsvektoren  $\vec{X}_1, \vec{X}_2, \vec{X}_3, \dots, \vec{X}_L$ .

1. Schritt: Der erste Codebucheintrag ist der Schwerpunktsvektor:

$$\vec{Y}_1 = \frac{1}{L} \sum_{i=1}^L \vec{X}_i \quad (2.1, 1)$$

2. Schritt: Danach wird derjenige Trainingsvektor gesucht, der den größten Abstand zu  $\vec{Y}_1$  hat. Er wird an die zweite Stelle des Codebuchs geschrieben.
3. Schritt: Das Trainingssignal wird mit dem vorhandenen Codebuch vektorquantisiert.
4. Schritt: Derjenige Trainingsvektor mit dem größten auftretenden Abstand ist der nächste Codebucheintrag.

Die Schritte 3 und 4 werden solange wiederholt, bis das Codebuch die gewünschte Größe hat.

Das Iterationsverfahren geht vom vollständigen Codebuch der Größe  $N$  aus. Wie aus Bild 2.1, 1 ersichtlich ist, werden abwechselnd die Trainingsvektoren quantisiert und die Codebuchvektoren zentriert. Dadurch wandern die Codebuchvektoren in die Schwerpunkte der Cluster. Die Iteration bricht dann ab, wenn die relative Senkung der Störenergie unter einem Schwellwert  $\epsilon$  liegt.

\*) erstmals von Braun/Lochschmidt (FTZ) verwendet.

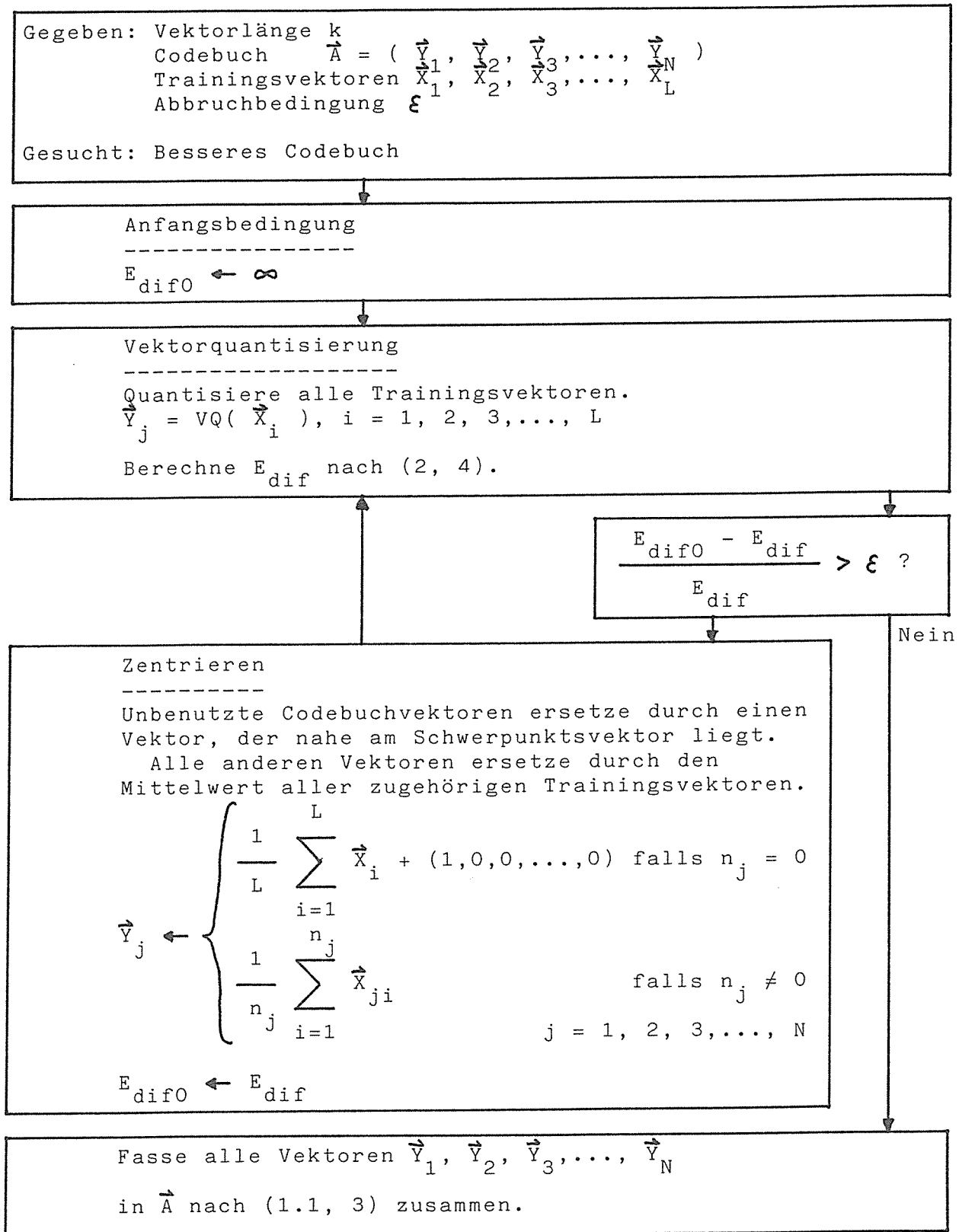


Bild 2.1, 1 Iterationsverfahren

## 2.2 Linde/Buzo/Gray-Algorithmus

-----

Gray und Linde geben einen Algorithmus an /1/, der sehr einfach zu programmieren ist. Ausgehend vom Schwerpunktsvektor der Trainingssequenz wird abwechselnd das Codebuch verdoppelt und nach dem in Bild 2.1, 1 erläuterten Verfahren iteriert (siehe Bild 2.2, 1). Die Codebuchgröße wird dadurch verdoppelt, daß alle vorhandenen Codebuchvektoren in jeweils zwei dicht beieinanderliegende aufgespalten werden. Dadurch sind große Codebücher sehr schnell generiert. Die Größe N des Full-Search-Codebuchs ist stets eine Zweierpotenz.

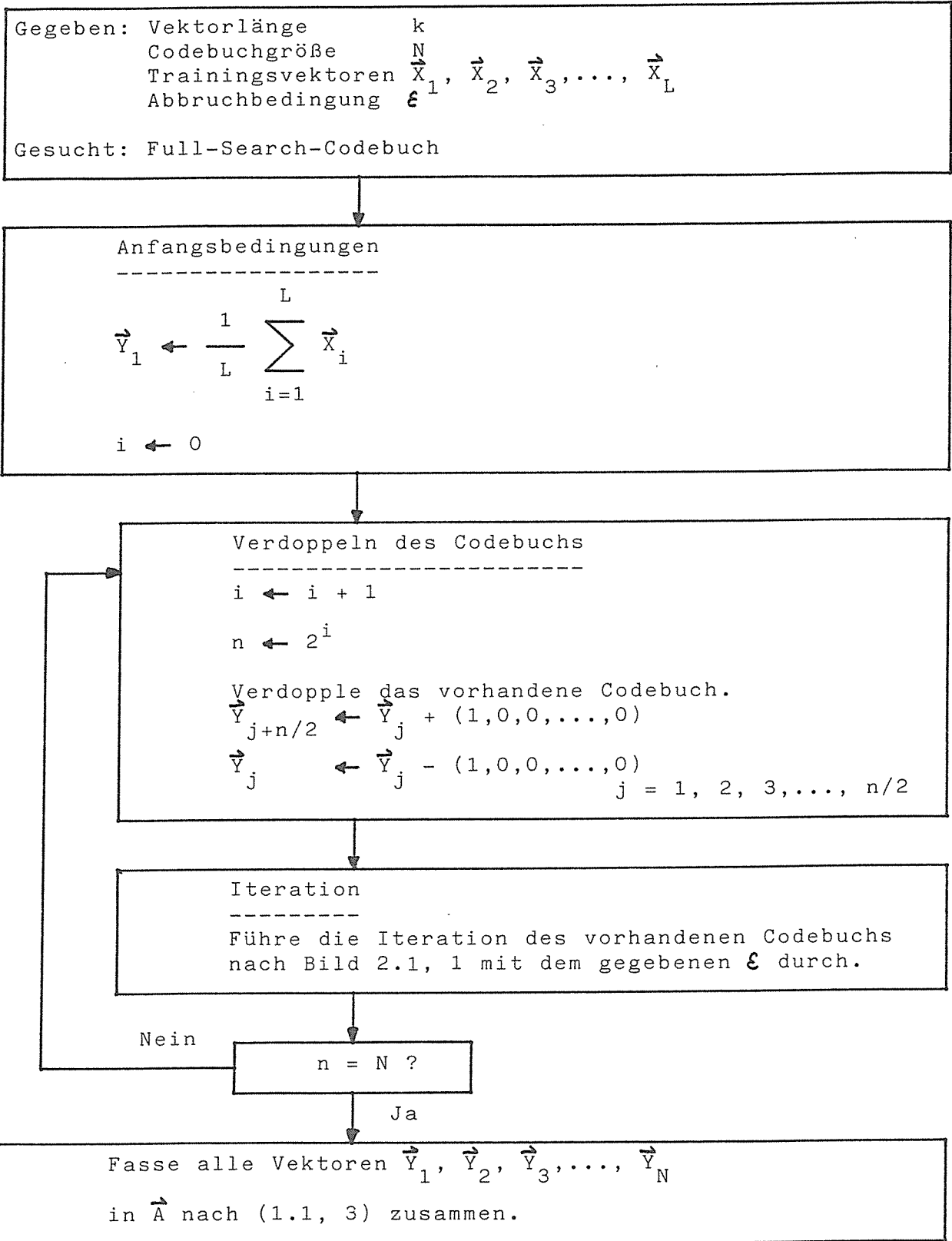


Bild 2.2, 1 Linde/Buzo/Gray-Algorithmus

### 3 Experimente

=====

Für die Untersuchungen stand mir eine VAX 11/780, ein schneller Rechner mit großer Speicherkapazität zur Verfügung.

Als Trainingssignal wurde eine Sprachprobe benutzt, die einen Satz enthält, dessen Häufigkeitsverteilung der Laute mit derjenigen der deutschen Sprache übereinstimmt. Der Satz lautet:

"Hallo, hören Sie? Ich bin Rudolf Ranick hier, vom FTZ. Prüfen Sie bei Kurt Meyer in der Burgstraße den Leitungsanschluß und auch das Geräusch aus den Kapseln!"

Dieser Satz wurde von zwei männlichen und zwei weiblichen Sprechern über Telefon aufgenommen. Die Länge der Sprachprobe beträgt etwa 54 Sekunden. Dies entspricht 108.000 Vektoren der Länge  $k = 4$  und reicht für die Untersuchungen völlig aus, da optimale Baumstrukturen gesucht sind. Für optimale Codebücher dagegen müßte das Trainingssignal ungefähr eine Dauer von 30 Minuten haben. Der dadurch entstehende Aufwand an Speicherkapazität und Rechenzeit ist selbstverständlich erst dann tragbar, wenn die optimale Baumstruktur bekannt ist.

Das Programm "Codebuchsuche" (siehe 8.1, Programm COBUS) verwendet den Linde/Buzo/Gray-Algorithmus (siehe 2.2) und erzeugt Codebücher mit beliebig vorgegebener Baumstruktur (siehe Bild 2, 1). Die maximal zugelassene Codebuchgröße ist  $N = 1024$ , weil umfangreichere Codebücher einen nicht mehr tragbaren Aufwand an Speicherkapazität in Vektorquantisierungssystemen erfordern. Damit ist auch die maximale Vektorlänge mit  $k = 8$  festgelegt, da größere Vektorlängen umfangreichere Codebücher als zugelassen erzwingen.

Die von COBUS erzeugten Codebücher werden unter dem Filenamem CBUCH.DAT abgelegt. In die ersten vier Zeilen werden die Vektorlänge  $k$ , die Baumstruktur  $\vec{B}$ , der verwendete Algorithmus und das errechnete Signal/Rauschverhältnis SNR geschrieben.

k : 8  
 $\vec{B}$  : 2 2 0 0 0 0 0 0 0 0  
Algorithmus: 1  
SNR : 8.0214

Bild 3, 1 Kopf eines Codebuchs

Das Beispiel in Bild 3, 1 zeigt den Kopf des Codebuchs der Bilder 1.2, 2 und 1.2, 3. Das Signal/Rauschverhältnis beträgt rund  $SNR = 8$  dB. Die "1" gibt an, daß der Linde/Buzo/Gray-Algorithmus verwendet wurde. Eine Abwandlung dieses Algorithmus, die in Kapitel 3.4 besprochen wird, wird mit einer "2" gekennzeichnet.

### 3.1 Voruntersuchungen

-----

Bei gegebenem  $\epsilon$  bricht die Iteration dann ab, wenn sich das Signal/Rauschverhältnis pro Iterationsschritt um weniger als

$$\Delta SNR = 10 \lg ( 1 + \epsilon ) \text{ dB} \quad (3.1, 1)$$

verbessert (siehe Bild 2.1, 1). Das Codebuch wird umso besser, je kleiner  $\epsilon$  gewählt wird. Allerdings dauert dadurch die Berechnung länger. Nach einigen Tests wurde  $\epsilon = 10^{-3}$  gewählt. Das Signal/Rauschverhältnis verbessert sich damit höchstens noch in der zweiten Nachkommastelle ( $\Delta SNR = 0,00434$  dB), was an einem Full-Search-Codebuch gezeigt werden konnte. Dagegen konnte an einem Binary-Tree-Search-Codebuch (BTS-Codebuch, Anzahl der Knoten verdoppelt sich mit jeder Knotenebene:

$\vec{B} = ( 1, 1, 1, \dots, 1 )$ ) folgende Unregelmäßigkeit nachgewiesen werden, die in Kapitel 3.4 noch genauer untersucht wird: Das Signal/Rauschverhältnis wird mit kleiner werdendem  $\epsilon$  geringfügig schlechter.

Zuerst wurden für Vektorlängen  $k = 1, 2, 3, \dots, 8$  alle Full-Search- und Binary-Tree-Search-Codebücher mit  $R = k$  berechnet (siehe 8.2, "Vektorlänge 1-8, 1 Bit/Sample"). Die Datenrate



beträgt nach (1.1, 5)  $r = 1$  Bit/Sample. Wie man in Bild 3.1, 1 erkennt, werden bei konstanter Datenrate mit größeren Vektorlängen bessere Ergebnisse erzielt. Full-Search-Codebücher sind um etwa 1 dB besser als Binary-Tree-Search-Codebücher gleicher Größe.

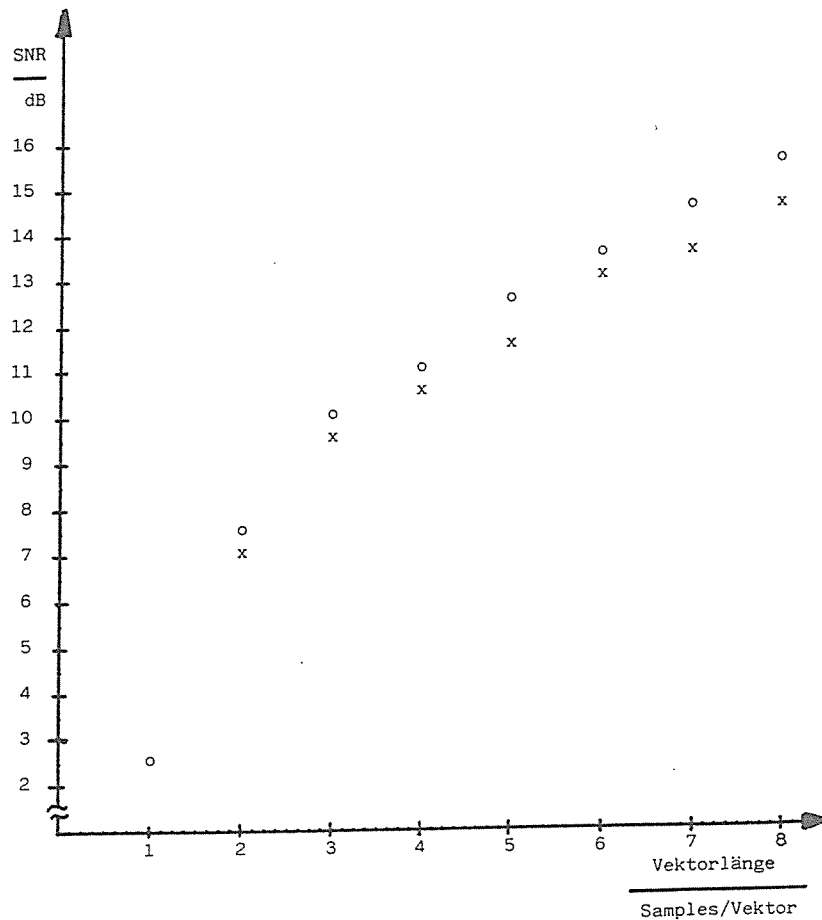


Bild 3.1, 1 Signal/Rauschverhältnis in Abhängigkeit von der Vektorlänge,  
Datenrate: 1 Bit/Sample,  
o FS-Codebuch  
x BTS-Codebuch

Mit einer Datenrate von  $r = 2$  Bit/Sample wurden für  $k = 1, 2, 3, 4$  entsprechende Untersuchungen durchgeführt (siehe 8.2, "Vektorlänge 1-4, 2 Bit/Sample"). Obige Feststellungen bestätigten sich (siehe Bild 3.1, 2).

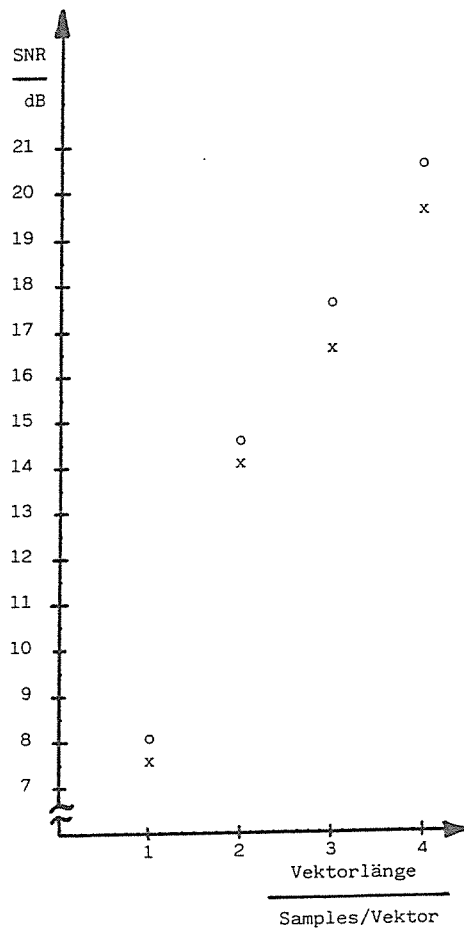


Bild 3.1, 2 Signal/Rauschverhältnis in Abhängigkeit von der Vektorlänge, Datenrate: 2 Bit/Sample, o FS-Codebuch, x BTS-Codebuch

### 3.2 Untersuchung aller 16er Codebücher

-----  
 Für die Codebuchgröße  $N = 16$  existieren genau acht mögliche Baumstrukturen:

$$\begin{aligned} \vec{B}_1 &= ( 4 ) \\ \vec{B}_2 &= ( 3, 1 ) \\ \vec{B}_3 &= ( 2, 2 ) \\ \vec{B}_4 &= ( 2, 1, 1 ) \\ \vec{B}_5 &= ( 1, 3 ) \\ \vec{B}_6 &= ( 1, 2, 1 ) \\ \vec{B}_7 &= ( 1, 1, 2 ) \\ \vec{B}_8 &= ( 1, 1, 1, 1 ) \end{aligned}$$

Nach (1.2, 8), (1.2, 7), (1.2, 6) und (1.2, 9) muß die Summe aller Baumstrukturkomponenten  $R = 4$  ergeben. Es gibt acht Möglichkeiten, diese Bedingung mit positiven natürlichen Zahlen zu erfüllen. Man kann zeigen, daß die Zahl der möglichen Baumstrukturen

$$n_B = \frac{N}{2} \tag{3.2, 1}$$

ist, wenn  $N$  eine Zweierpotenz ist.

Weil die Hardware-Realisierung für Vektorlängen, die Zweierpotenzen sind, besonders einfach ist, wurden alle 16er Codebücher für  $k = 4$  und  $k = 8$  erzeugt. Für beide Vektorlängen ergeben sich unterschiedliche Rangfolgen der Baumstrukturen (siehe 8.2, "Alle Bäume"). Trotzdem läßt sich über "regelmäßige" Baumstrukturen, für die

$$R'_1 = R'_2 = R'_3 = \dots = R'_m = R', \text{ mit } mR' = R \tag{3.2, 2}$$

gilt, folgendes sagen: Das Full-Search-Codebuch ist jeweils am besten ( $\vec{B} = ( 4 )$ ). Es folgt der quaternäre Baum ( $\vec{B} = ( 2, 2 )$ ).

Das Binary-Tree-Search-Codebuch ist das schlechteste ( $\vec{B} = (1, 1, 1, 1)$ ). Offenbar ist das Signal/Rauschverhältnis umso besser, je weniger Knotenebenen  $m$  die regelmäßige Baumstruktur hat.

Wenn die Anzahl der zu berechnenden Abstände  $n_d$  minimal sein soll, ist für einen Baum mit  $m$  Ebenen die regelmäßige Struktur die beste. Dies gilt bis auf eine Ausnahme: Gemischt binär-quaternäre Baumstrukturen (z. B.  $\vec{B} = (1, 2, 1, \dots, 2)$ ) haben nach (1.2, 12) den gleichen Suchaufwand wie binäre und quaternäre Bäume:

$$n_d = 2 \lg N \quad (3.2, 3)$$

### 3.3 Untersuchung größerer Codebücher

-----  
Im Folgenden werden nur Codebücher mit Vektorlänge  $k = 8$  untersucht, da die Rangfolge der regelmäßigen Baumstrukturen offensichtlich unabhängig von der Vektorlänge ist.

Für die Codebuchgröße  $N = 1024$  existieren nach (3.2, 1)  $n_B = 512$  Baumstrukturen. Es ist unsinnig, alle zu untersuchen, da nur Strukturen mit minimalem Suchaufwand interessieren.

Es wurden alle 32er, 64er, 128er, 256er, 512er und 1024er Codebücher mit regelmäßiger Baumstruktur nach (3.2, 2) erzeugt. Außerdem wurden noch Baumstrukturen zugelassen, deren Komponenten sich um 1, höchstens um 2 unterscheiden (siehe 8.2, "Ausgewählte Bäume"). Die regelmäßigen Strukturen sind wieder nach der Anzahl ihrer Knotenebenen sortiert. Bäume, die in den ersten Ebenen eine binäre, in den letzten eine quaternäre Struktur haben, sind günstig.

Das 512er und das 1024er Full-Search-Codebuch wurde nicht generiert, weil die Berechnung zu viel Rechenzeit gekostet und keine neuen Erkenntnisse gebracht hätte.

### 3.4 Variation des Algorithmus

-----

Ein Code ist genau dann redundanzfrei, wenn alle Symbole mit gleicher Häufigkeit auftreten. Codebücher, die mit dem Linde/Buzo/Gray-Algorithmus erzeugt sind, erfüllen diese Bedingung nicht. Bei einer binären Baumstruktur sollten auf der ersten Knotenebene die Trainingsvektoren nach positivem und negativem Mittelwert geordnet sein. Nach dem ersten Iterationsschritt ist dies auch der Fall. Wenn aber die Verteilung der Trainingsvektoren nicht exakt symmetrisch ist, weil beispielsweise der Mittelwert der positiven Vektoren größer ist als derjenige der negativen, werden im nächsten Iterationsschritt Trainingsvektoren mit kleinem positivem Mittelwert dem negativen Cluster zugeordnet. Dadurch werden die Trainingsvektoren ungleichmäßig aufgeteilt.

Das Programm COBUS enthält eine Abwandlung des Linde/Buzo/Gray-Algorithmus (siehe 8.1, Programm COBUS). Bei Baumstrukturen mit vielen Knotenebenen wird die Iteration schon nach dem ersten Schritt abgebrochen. Dadurch werden die Trainingsvektoren gleichmäßig aufgeteilt. Lediglich die letzten beiden Knotenebenen werden voll durchiteriert.

Bei kleinen Codebüchern läßt sich damit eine leichte Verbesserung des Signal/Rauschverhältnisses in der Größenordnung von 0,1 dB erzielen (siehe 8.2, "Neue Strategie"). Im Mittel sind die Ergebnisse aber schlechter. Wahrscheinlich wäre eine stetige Änderung des Abbruchkriteriums in Abhängigkeit von der Knotenebene  $\epsilon = \epsilon(m)$  vorteilhaft.

Die bei den Voruntersuchungen (siehe 3.1) auftretende Anomalie kann damit erklärt werden, daß bei zu kleinem  $\epsilon$  auf den ersten Knotenebenen die Trainingsvektoren ungleichmäßig aufgeteilt werden. Die daraus resultierenden Codebücher sind schlechter als solche mit etwas größerem  $\epsilon$ .

Die mit dem Braun/Lochschmidt-Algorithmus erzielten Ergebnisse /4/ sind im Mittel schlechter als diejenigen des Linde/Buzo/Gray-Algorithmus, so daß es sich erübrigt, Baumstrukturen mit dem anderen Algorithmus zu untersuchen.

### 3.5 Optimale Bäume

-----  
Nach der Erzeugung aller Codebücher mit der Vektorlänge  $k = 4$ , die entweder eine regelmäßige oder eine binär-quaternäre Baumstruktur haben, läßt sich folgendes über optimale Bäume sagen, wenn die Zahl der zu berechnenden Abstände  $n_d$  möglichst klein sein soll:

Baumstrukturen, bei denen sich jeder Knoten in vier weitere Knoten aufspaltet (quaternäre Bäume), sind optimal. Die Codebuchgröße  $N$  muß allerdings eine Potenz von vier sein. Ist sie eine ungerade Potenz von zwei, dann ist derjenige Baum der beste, dessen Ursprungsknoten sich zweifach, alle anderen Knoten sich vierfach aufspalten (binär-quaternärer Baum). Bei beiden Baumstrukturen müssen  $n_d = 2 \lg N$  Abstände berechnet werden.

Codebücher mit den optimalen Baumstrukturen sind um etwa 0,5 dB schlechter als die zugehörigen Full-Search-Codebücher (siehe 8.2, "Optimale Bäume").

4            Untersuchungen mit Residualsignalen

=====

Bei den weiteren Experimenten wurde das Residualsignal der in Kapitel 3 beschriebenen Sprachprobe als Trainingssequenz benutzt. Die Ergebnisse der Baumuntersuchungen stimmen prinzipiell mit den bereits diskutierten überein (siehe 8.2, "Residual-Codebücher"). Da das Residualsignal eine geringere Energie hat als das Originalsignal, die Störenergien aber in der gleichen Größenordnung liegen, sind die Signal/Rauschverhältnisse der Residual-Codebücher deutlich schlechter. Trotzdem schneidet das RELP-VQ-Verfahren im Vergleich mit der reinen Vektorquantisierung besser ab. Das "objektive" Signal/Rauschverhältnis erfaßt den Überdeckungseffekt /6/ nicht. Die beiden Verfahren müssen in akustischen Verständlichkeitstests (z. B. Logatomtest, siehe /5/) verglichen werden.

In den Bildern 4, 1 und 4, 2 sind für die konstanten Vektorlängen  $k = 4$  und  $k = 8$  jeweils die Signal/Rauschverhältnisse der Full-Search- und der Binary-Tree-Search-Codebücher in Abhängigkeit von der Datenrate aufgetragen. Die oberen Meßreihen zeigen die Ergebnisse der Original-, die unteren jene der Residual-Codebücher. Wie erwartet, sind mit einer höheren Datenrate, d. h. mit einem größeren Codebuch, bessere Ergebnisse zu erzielen.

Mit dem Programm "Tree-Search-Vector-Quantizer" (siehe 8.1, Programm TSV) kann die Vektorquantisierung einer gegebenen Sprachprobe mit dem Codebuch CBUCH.DAT durchgeführt werden. Das berechnete Signal/Rauschverhältnis wird ausgegeben.

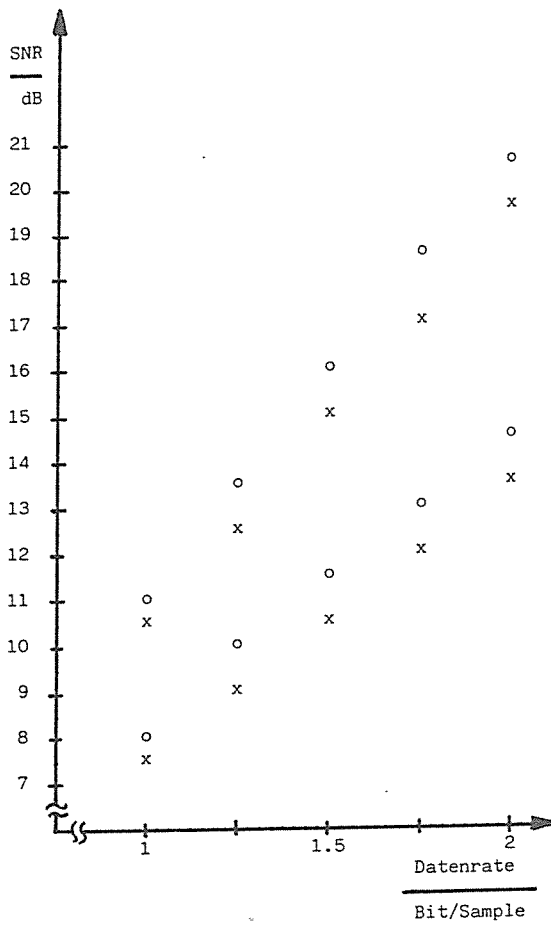


Bild 4, 1 Signal/Rauschverhältnis in Abhängigkeit von der Datenrate,  
Vektorlänge : 4 Samples/Vektor,  
obere Meßreihe : Original-Codebücher  
untere Meßreihe: Residual-Codebücher  
o FS-Codebuch  
x BTS-Codebuch



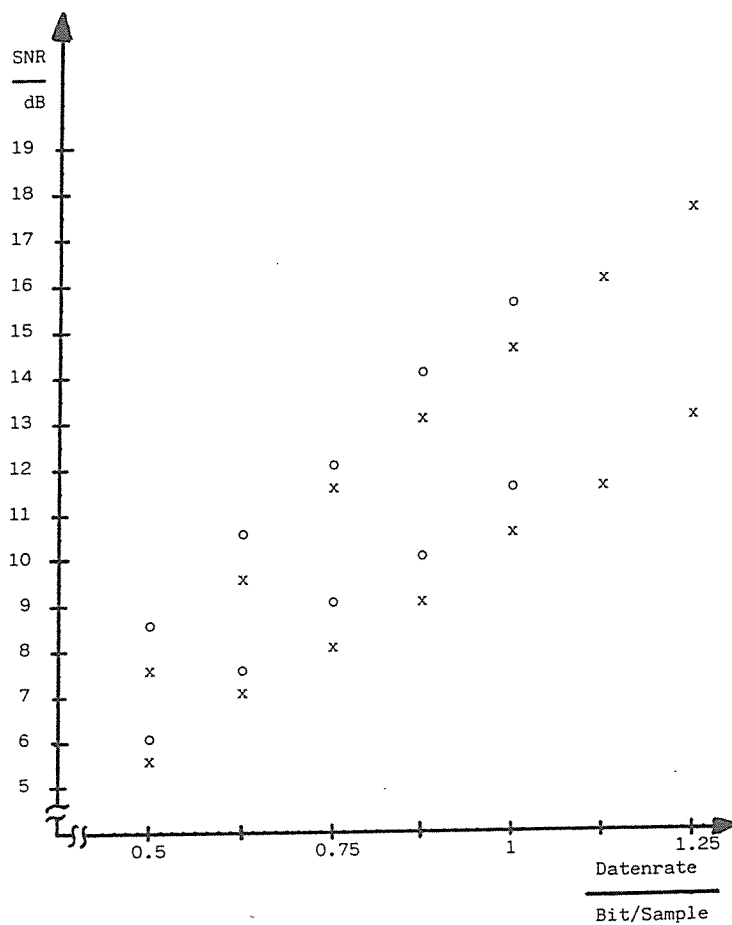


Bild 4, 2 Signal/Rauschverhältnis in Abhängigkeit von der Datenrate,  
Vektorlänge : 8 Samples/Vektor,  
obere Meßreihe : Original-Codebücher  
untere Meßreihe: Residual-Codebücher  
o FS-Codebuch  
x BTS-Codebuch

5            Aufwandsbetrachtungen

=====

Die Suche des kleinsten Abstandes  $d(\vec{X}_i, \vec{Y}_j)$  läßt sich auf folgende Weise vereinfachen: Da die Wurzelfunktion monoton ist, reicht es aus,  $d^2(\vec{X}_i, \vec{Y}_j)$  nach (1.2, 2) zu berechnen:

$$d^2(\vec{X}_i, \vec{Y}_j) = \sum_{l=1}^k (x_{il} - y_{jl})^2 = K_1 - 2 \sum_{l=1}^k x_{il}y_{jl} + K_2 \quad (5, 1)$$

$K_1$  ist für einen gegebenen Sprachsignalvektor bei allen zu berechnenden Abständen eine Konstante. Bei der Suche nach dem kleinsten Abstand kann sie wegfallen.

$K_2$  ist die Energie des jeweiligen Codebuchvektors. Sie kann vor der Quantisierung berechnet und abgespeichert werden.

Pro Abstandsberechnung müssen also  $k$  Multiplikationen und  $k$  Additionen durchgeführt werden, wenn statt der Multiplikation der Summe mit dem Faktor 2 der Ausdruck  $K_2/2$  abgespeichert wird. Anschließend folgt ein Vergleich mit dem bisher optimalen Abstand. Zur Aufwandsberechnung wird der Vergleich zu den Additionen gezählt. Für die Berechnung von  $n_d$  Abständen müssen

$$n_x = n_d k \quad (5, 2)$$

Multiplikationen und

$$n_+ = n_d (k + 1) \quad (5, 3)$$

Additionen durchgeführt werden.

Bei quaternären und binär-quaternären Bäumen entspricht das

$$n_x = 2 k \lg N \quad (5, 4)$$

Multiplikationen und

$$n_+ = 2 ( k + 1 ) \lg N \quad (5, 5)$$

Additionen.

Im Speicher müssen pro Codebuchvektor  $k$  Komponenten und die Energie enthalten sein. Es müssen mit (1.2, 13)

$$S = ( k + 1 ) M \quad (5, 6)$$

Vektorkomponenten gespeichert werden. Nach Abschätzung von

$$M = \sum_{i=1}^m 2^i \leq 2^{m+1} = 2 N \quad (5, 7)$$

kann eine Obergrenze angegeben werden: Im Speicher sind maximal

$$S \leq 2 ( k + 1 ) N \quad (5, 8)$$

Vektorkomponenten enthalten, d. h. höchstens doppelt so viele wie im Full-Search-Codebuch gleicher Größe.

Das Diagramm in Bild 5, 1 zeigt den Rechenaufwand und die Speichergröße in Abhängigkeit von der Baumstruktur (QTS-Codebuch = Quaternary-Tree-Search-Codebuch).

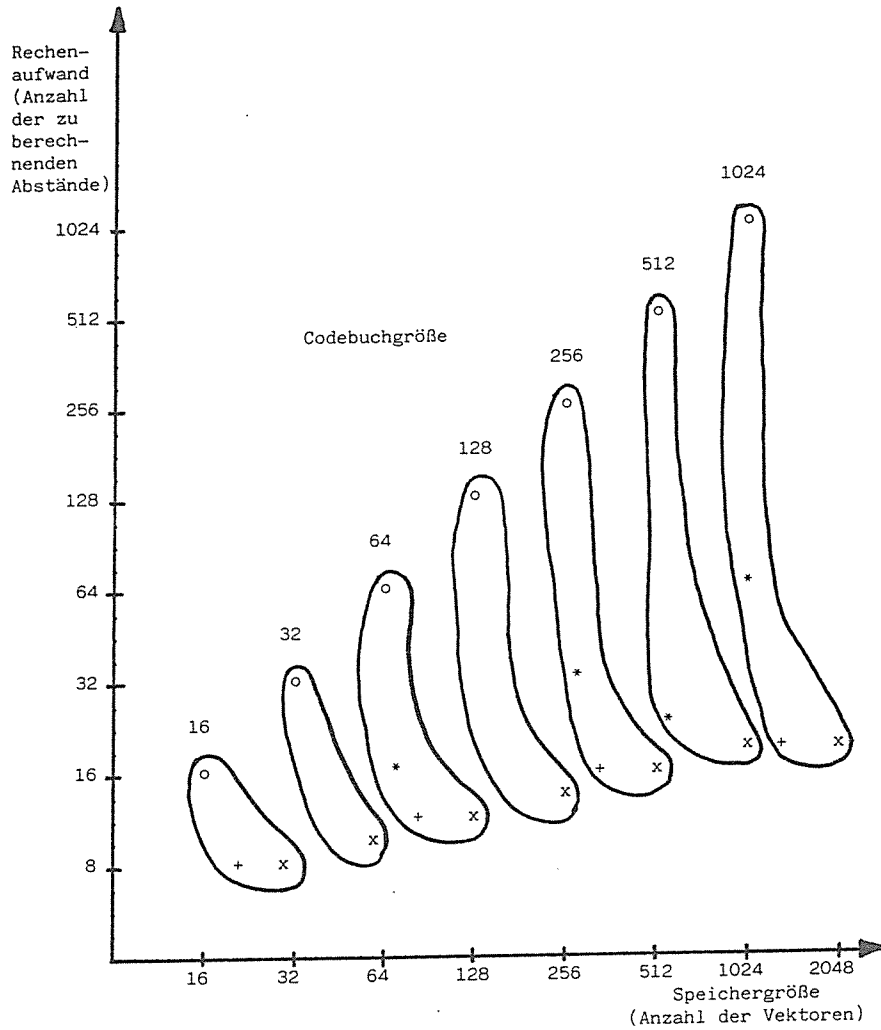


Bild 5, 1 Rechenaufwand und Speichergröße in Abhängigkeit von der Baumstruktur,

o FS-Codebuch

+ QTS-Codebuch

x BTS-Codebuch

\* N = 64 :  $\vec{B} = ( 3, 3 )$

\* N = 256 :  $\vec{B} = ( 4, 4 )$

\* N = 512 :  $\vec{B} = ( 3, 3, 3 )$

\* N = 1024 :  $\vec{B} = ( 5, 5 )$

6 Zusammenfassung und Ausblick

=====

Die Vektorquantisierung ist eine Methode zur Redundanzreduktion bei der digitalen Übertragung von Sprache. Dabei werden optimale Codebücher benötigt, deren Dimension sowohl hinsichtlich der Zahl der Vektoren als auch hinsichtlich der Vektorlänge variabel ist. Der Rechenaufwand bei der Quantisierung kann stark verringert werden, wenn nicht jeder Codebucheintrag abgesucht werden muß (Full-Search), sondern ein gezielter Suchbaum verfolgt wird (Tree-Search).

Im Rahmen dieser Arbeit konnte gezeigt werden, daß mit quaternären und binär-quaternären Baumstrukturen der Suchaufwand bei der Vektorquantisierung von Abtastwerten minimal wird. Beispielsweise müssen bei einem 1024er Codebuch nur 20 Abstände berechnet werden. Wie die Untersuchungen mit den Vektorlängen  $k = 4$  und  $k = 8$  Samples/Vektor ergaben, sind die Signal/Rauschabstände der Codebücher mit optimalen Baumstrukturen nur geringfügig schlechter als die der Full-Search-Codebücher.

Interessant wird die Vektorquantisierung allerdings erst für große Vektorlängen. Wahrscheinlich könnte für  $r = 1$  Bit/Sample die CCITT-Norm mit der Vektorlänge  $k = 32$  Samples/Vektor erfüllt werden. Der Suchaufwand ist mit  $n_d = 64$  relativ gering. Dagegen müßte der Speicher die utopische Größe von etwa 200 GByte haben. Mit folgendem Trick käme man mit kleineren Speichern aus: Statt ein  $2^{32}$ er Codebuch zu verwenden, könnte man ebensogut mit vier  $2^8$ er Codebüchern arbeiten. Mit dem ersten Codebuch wird das Sprachsignal quantisiert, mit dem zweiten das dabei entstehende Differenzsignal und mit dem dritten und vierten jeweils die Differenzsignale der vorhergehenden Stufen. Der technische Aufwand für dieses Verfahren dürfte noch tragbar sein.

Eine weitere Verbesserung wäre dadurch zu erzielen, daß auf der ersten Knotenebene nach stimmhaften und stimmlosen Lauten sortiert wird. Die beiden Untercodebücher wären zusammen genommen kleiner als ein universelles Codebuch, da sie der Lautstruktur besser angepaßt sind.

7        Literaturverzeichnis

=====

- /1/        Gray, R.M., Linde, Y.:  
Vector Quantizers and Predictive Quantizers  
for Gauss-Markov Sources.  
IEEE Trans. Commun., vol. COM-30, No. 2 (1982),  
S. 381-389.
- /2/        Abut, H., Gray, R.M., Rebolledo, G.:  
Vector Quantization of Speech and Speech-Like Waveforms.  
IEEE Trans. Acoust., Speech, Signal Processing,  
vol. ASSP-30, No. 3 (1982), S. 423-435.
- /3/        Wong, D.Y., Juang, B.H., Gray, A.H.Jr.:  
An 800 bit/s Vector Quantization LPC Vocoder.  
IEEE Trans. Acoust., Speech, Signal Processing,  
vol. ASSP-30, No. 5 (1982), S. 770-780.
- /4/        Halaski, R., Fasshauer, W.:  
Untersuchung von Verfahren zur Reduktion des  
Datenflusses bei residualerregten LPC-Verfahren.  
St 1985 EA (1984).
- /5/        Endres, W.:  
Nachrichtenübertragung durch Sprache I+II.  
Skripte zur Vorlesung (1982).
- /6/        Sessler, G. M.:  
Akustik I. Skript zur Vorlesung (1980).

8 - Anhang

=====

8.1 Programme

```
CCCCCCCCCCCCCCCCCCCCCCCCCCCCCCCCCCCCCCCCCCCCCCCCCCCCCCCCCCCCCCCCCCCC
C
C PROGRAMM ZUR UNTERSUCHUNG VON VEKTORQUANTISIERERN
C IN BAUMSTRUKTUR FUER DIE QUANTISIERUNG
C VON SPRACH- UND RESIDUALSIGNALEN
C
CCCCCCCCCCCCCCCCCCCCCCCCCCCCCCCCCCCCCCCCCCCCCCCCCCCCCCCCCCCCCCCCCCCC
C PROGRAMM : CODEBUCHSUCHE
C
C DATUM : 15. 5.84
C
CCCCCCCCCCCCCCCCCCCCCCCCCCCCCCCCCCCCCCCCCCCCCCCCCCCCCCCCCCCCCCCCCCCC
C PROGRAM COBUS
C INTEGER BAUM(10,4),XMAX,YMAX(10),ZMAX,ALGO,VEKT,ANFA(8),
1 MERK,SINN,FIND,SUCH,ZAHL(1024),MITT(1024,8),I,J,K,L,M,N
C INTEGER*2 WD(433408),BUCH(10,1024,8)
C REAL EPSI,GLEI,ESIG,EDIF,SNDB,DIFF,SUMM,QUAD
CCCCCCCCCCCCCCCCCCCCCCCCCCCCCCCCCCCCCCCCCCCCCCCCCCCCCCCCCCCCCCCCCCCC
C VERWALTUNGSKREMPPEL
C
CCCCCCCCCCCCCCCCCCCCCCCCCCCCCCCCCCCCCCCCCCCCCCCCCCCCCCCCCCCCCCCCCCCC
C
C LESEN DER VEKTORLAENGE
C
ZMAX=0
DO WHILE(ZMAX,LT.1.OR,ZMAX,GT.8)
TYPE *, 'SAMPLES/VEKTOR ?'
ACCEPT 1,ZMAX
END DO
C
C LESEN DER BAUMSTRUKTUR
C
DO I=1,10
YMAX(I)=0
DO J=1,4
BAUM(I,J)=0
END DO
END DO
DO WHILE(BAUM(1,1).LT.1.OR,BAUM(1,1).GT.10)
TYPE *, 'BAUMSTRUKTUR ?'
ACCEPT 1,BAUM(1,1)
END DO
XMAX=1
BAUM(1,2)=BAUM(1,1)
DO WHILE(BAUM(XMAX,1),NE.0.AND,BAUM(XMAX,2).LT.10
1 .AND,XMAX,LT.10)
ACCEPT 2,BAUM(XMAX+1,1)
BAUM(XMAX+1,2)=BAUM(XMAX,2)+BAUM(XMAX+1,1)
IF(BAUM(XMAX+1,2).GT.10)THEN
TYPE *, 'LETZTE EINGABE KORRIGIEREN !'
ELSE
XMAX=XMAX+1
END IF
END DO
IF(BAUM(XMAX,1).EQ.0)THEN
BAUM(XMAX,2)=0
XMAX=XMAX-1
END IF
DO I=1,2
DO J=1,XMAX
BAUM(J,I+2)=2**BAUM(J,I)
END DO
END DO
```

```
C
C WAHL DES ALGORITHMUS
C
      ALGO=0
      DO WHILE(ALGO.LT.1.OR.ALGO.GT.2)
          TYPE *, 'ALGORITHMUS ?'
          ACCEPT 2,ALGO
      END DO

C
C KONTROLLE DER EINGABEN
C
      TYPE 3,ZMAX
      TYPE 4,BAUM(XMAX,2)
      TYPE 5
      DO I=1,XMAX
          TYPE 6,BAUM(I,1)
      END DO
      TYPE 7,ALGO
      FORMAT(I2)
1     FORMAT(I1)
2     FORMAT(' ', 'SAMPLES/VEKTOR : ', I4)
3     FORMAT(' ', 'BIT/VEKTOR      : ', I4)
4     FORMAT(' ', 'BAUMSTRUKTUR   : ', $)
5     FORMAT('+', I4, $)
6     FORMAT(' ', 'ALGORITHMUS    : ', I4)
7
C
C LESEN DER TRAININGSSEQUENZ
C
      OPEN(UNIT=10,NAME='WD4711.;1',TYPE='OLD',
1     FORM='UNFORMATTED',RECL=128,ACCESS='DIRECT')
      DO I=2,1694
          READ(10'I')(WD(256*I+J-512),J=1,256)
      END DO
      CLOSE(UNIT=10)

C
C ANZAHL DER TRAININGSVEKTOREN
C
      VEKT=433408/ZMAX

C
C SCHWERPUNKTSVEKTOR UND GLEICHSPANNUNGSANTEIL
C
      DO I=1,8
          ANFA(I)=0
      END DO
      GLEI=0.
      DO I=1,ZMAX
          DO J=0,VEKT-1
              ANFA(I)=ANFA(I)+WD(J*ZMAX+I)
          END DO
          GLEI=GLEI+FLOAT(ANFA(I))
          J=10*ANFA(I)/VEKT
          IF(J.EQ.0)J=1
          ANFA(I)=(J+IABS(J)/J*5)/10
      END DO
      GLEI=GLEI/FLOAT(VEKT*ZMAX)

C
C BERECHNUNG DER SIGNALENERGIE
C
      ESIG=0.
      DO I=1,VEKT*ZMAX
          ESIG=ESIG+(FLOAT(WD(I))-GLEI)**2.
      END DO

C
C LOESCHEN DES CODEBUCHS
C
      DO I=1,8
          DO J=1,10
              DO K=1,1024
                  BUCH(J,K,I)=0
              END DO
          END DO
      END DO
```



```
C
C ABRUCHBEDINGUNG
C
      EPSI=0,001
C
C SPRUNG ZUM GEWAELHTEN ALGORITHMUS
C
      GOTO(100,200),ALGO
CCCCCCCCCCCCCCCCCCCCCCCCCCCCCCCCCCCCCCCCCCCCCCCCCCCCCCCCCCCC
C
C LINDE/BUZO/GRAY-ALGORITHMUS
C
CCCCCCCCCCCCCCCCCCCCCCCCCCCCCCCCCCCCCCCCCCCCCCCCCCCCCCCCCCCC
C
C KNOTENEbenen-SCHLEIFE
C
100   DO I=1,XMAX
CCCCCCCCCCCCCCCCCCCCCCCCCCCCCCCCCCCCCCCCCCCCCCCCCCCCCCCCCCCC
C
C ANFANGSBEDINGUNGEN
C
      IF(I.EQ,1)THEN
          DO J=1,ZMAX
              BUCH(1,1,J)=ANFA(J)
          END DO
      ELSE
          DO J=1,BAUM(I-1,4)
              MERK=(J-1)*BAUM(I,3)+1
              DO K=1,ZMAX
                  BUCH(I,MERK,K)=BUCH(I-1,J,K)
              END DO
          END DO
      END IF
C
C ANFANGSBEDINGUNGEN UEBERTRAGEN
C
CCCCCCCCCCCCCCCCCCCCCCCCCCCCCCCCCCCCCCCCCCCCCCCCCCCCCCCCCCCC
C
C CODEBUCHERSTELLUNG AUF DER I-TEN EBENE
C
      DO J=1,BAUM(I,1)
          YMAX(I)=2**J
CCCCCCCCCCCCCCCCCCCCCCCCCCCCCCCCCCCCCCCCCCCCCCCCCCCCCCCCCCCC
C
C VERDOPPELN DES CODEBUCHS
C
      DO K=1,BAUM(I,4)/BAUM(I,3)
          MERK=(K-1)*BAUM(I,3)
          SINN=MERK+YMAX(I)/2
          DO L=1,YMAX(I)/2
              BUCH(I,SINN+L,1)=BUCH(I,MERK+L,1)+1
              BUCH(I,MERK+L,1)=BUCH(I,MERK+L,1)-1
              DO M=2,ZMAX
                  BUCH(I,SINN+L,M)=BUCH(I,MERK+L,M)
              END DO
          END DO
      END DO
C
C CODEBUCH VERDOPPELT
C
CCCCCCCCCCCCCCCCCCCCCCCCCCCCCCCCCCCCCCCCCCCCCCCCCCCCCCCCCCCC
C
C ITERATION
C
      DIFF=1.E32
      EDIF=1.E30
      DO K=1,1024
          ZAHL(K)=0
          DO L=1,8
              MITT(K,L)=0
          END DO
      END DO
      DO WHILE((DIFF/EDIF-1.)>T.EPSI)
          DIFF=EDIF
          EDIF=0.
```







```
ELSE
    IF(I.EQ.1)THEN
        BUCH(1,L,1)=ANFA(1)+1
        DO M=2,ZMAX
            BUCH(1,L,M)=
            ANFA(M)
        END DO
    ELSE
        BUCH(I,SINN,1)=
        BUCH(I-1,K,1)+1
        DO M=2,ZMAX
            BUCH(I,SINN,M)=
            BUCH(I-1,K,M)
        END DO
    END IF
END DO
END DO
END DO
C
C ENDE DES ZENTRIERENS
C
CCCCCCCCCCCCCCCCCCCCCCCCCCCCCCCCCCCCCCCCCCCCCCCCCCCCCCCCCCCCCCCCCCCCCCCC
ELSE
    EDIF=DIFF
END IF
C
C ABRUCH NACH ERSTER ITERATION FUER I < XMAX-1
C
    IF(I.LT.XMAX-1)DIFF=EDIF
END DO
END DO
END DO
C
C ENDE DES LINDE/BUZO/GRAY/MEYER-ALGORITHMUS
C
    GOTO 1000
CCCCCCCCCCCCCCCCCCCCCCCCCCCCCCCCCCCCCCCCCCCCCCCCCCCCCCCCCCCCCCCCCCCCCCCC
C
C ABSPEICHERN DER DATEN
C
CCCCCCCCCCCCCCCCCCCCCCCCCCCCCCCCCCCCCCCCCCCCCCCCCCCCCCCCCCCCCCCCCCCCCCCC
C
C BERECHNUNG DES SIGNAL/RAUSCH-VERHAELTNISSES
C
1000  SNDB=10*ALOG10(ESIG/EDIF)
C
C ABLEGEN DES CODEBUCHS
C
    OPEN(UNIT=10,NAME='CBUCH.DAT',TYPE='NEW')
    WRITE(10,10)ZMAX
    WRITE(10,11)(BAUM(I,1),I=1,10)
    WRITE(10,10)ALGO
    WRITE(10,12)SNDB
    DO I=1,XMAX
        DO J=1,BAUM(I,4)
            WRITE(10,13)(BUCH(I,J,K),K=1,8)
        END DO
    END DO
    CLOSE(UNIT=10)
10    FORMAT(I4)
11    FORMAT(10I4)
12    FORMAT(F10.4)
13    FORMAT(8I6)
    STOP'HIER ENDET DAS PROGRAMM !'
    END
```

```
C... INTERACTIVE LABORATORY SYSTEM
C...
C... ILS COMMAND PROGRAM ** TSV **
C...
C... COPYRIGHT - JUNE 1984
C... JOCHEN MEYER
C... TECHNISCHE HOCHSCHULE DARMSTADT
C...
PROGRAM TSV
C...
IMPLICIT INTEGER (I-N)
C...
START OF DOCUMENTATION
C...
TREE SEARCH VECTOR QUANTIZER
C...
COMMAND FORMAT
C...
TSV N1,N2
C...
ALPHABETIC ARGUMENTS
C...
NONE
C...
NUMERIC ARGUMENTS
C...
N1 STARTING FRAME (DEFAULT='N1SAV')
C...
N2 NUMBER OF FRAMES (DEFAULT='N2SAV')
C...
END OF DOCUMENTATION
C...
COMMON /CLBF/ INSFLG,LCLBF,ICLBF(40)
COMMON /ILSA/ NBCW,NCWBK,NDPBK,NDPF,NBDP,NCWFH,
1 KBU,KBUIN,LPU,LUGI,LUGO,NSC,CWSC,
2 NBA2D,MIDA2D,ICTIM(4),ICDAT(6)
COMMON /ILSB/ IA(4),N1,N2,N3,N4,N5,N6,N7,N8,N9,N10,N11,N12
COMMON /ILSC/ IASAV(4),N1SAV,N2SAV,N3SAV,N4SAV,N5SAV,N6SAV,
1 N7SAV,N8SAV,N9SAV,N10SAV,N11SAV,N12SAV
COMMON /ILSE/ IFLPA(16),LENPA,LFILPA,NFLPA,IDKPA,IDKPA,
COMMON /ILSF/ IFLSA(16),LENSA,LFILSA,NFLSA,IDKSA,IDKSA,
COMMON /ILSH/ FS,M,MP1,M02,N,NSPBK,NSHFT,ICON,ISF,IHAM,LAN
COMMON /ILSI/ LRH,IEX,ISTAN,NAN,IDF(5),NP,IVL,IC
C...
INTEGER BAUM(10,4),XMAX,YMAX(10),ZMAX,ALGO,VEKT,
1 MERK,SINN,FIND,SUCH
INTEGER*2 BUCH(2046,8)
REAL ESIG,EDIF,SNDR,SUMM,QUAD
C...
DIMENSION IR(1024),IS(1024),IY(512)
C...
DATA I1,I5/1,5/
DATA IIBR,IIBW/2*0/
DATA LIY,LIR,LIS/512,2*1024/
DATA ICHNP,ICHS/2HNP,2HS /
C...
CALL RCDMM
C...
INITIALISIERT PRIMARY-FILE
C...
CALL CHKFL(NFLPA,IDKPA,IFLPA,LENPA,LFILPA,IY,ICHS,IERR)
IF(IERR.NE.0) GOTO 170
NSPBK=IY(6)
CALL ANCHK(NSC,N1,N2,N1SAV,N2SAV,NSCA,ISTAN,NAN,NDPF,
1 NDPF,NCWFH,NSPBK,LFILPA,NDPBK,CWSC,KBU)
NPTS=NDPF
IF(NPTS.LE.LIY) GOTO 120
WRITE(KBU,110)
110 FORMAT(17H DECREASE CONTEXT)
GOTO 170
C...
ERZEUGT SECONDARY-FILE
C...
120 ITYPE=-1
CALL CHKFL(NFLSA,IDKSA,IFLSA,LENSA,LFILSA,IS,ITYPE,IERR)
ISTOP=N1SAV+N2SAV-1
```

```
CALL SETUP(IFLSA,LENSA,LFILSA,ISTOP,NPTS,NCWFH,IS,ICHNP)
IF(ISTOP.LT.0) GOTO 170
IY(8)=ISTAN
IY(9)=NAN
IY(10)=NSC
IY(19)=IDKFA
IY(20)=NFLPA
IY(63)=-32000
CALL WHEAD(IY,IFLSA,LENSA)
NCWFH1=NCWFH
DO 130 JKL=1,512
130 IY(JKL)=0
DO 140 JKL=1,ISTOP
CALL WRITD(NSC,I1,ISDB1,NPTS,IS,LIS,IY,IIBW,
1 IFLSA,LENSA,LFILSA,NCWFH,NDPBK,CWSC)
IF(IIBW.GE.0) GOTO 140
CALL MESSG(IS,IFLSA)
GOTO 170
140 CONTINUE
IIBW=-IIBW
CALL WRITD(NSC,I1,ISDB1,NPTS,IS,LIS,IY,IIBW,
1 IFLSA,LENSA,LFILSA,NCWFH,NDPBK,CWSC)
IIBW=0
C...
C... LESEN DES CODEBUCH
C...
OPEN(UNIT=10,NAME='[MEYER,ERNST]CBUCH.DAT;1',TYPE='OLD')
READ(10,1)ZMAX
READ(10,2)(BAUM(I,1),I=1,10)
XMAX=1
DO WHILE(BAUM(XMAX+1,1).NE.0.AND.XMAX.LT.10)
XMAX=XMAX+1
END DO
BAUM(1,3)=BAUM(1,1)
DO I=2,XMAX
BAUM(I,3)=BAUM(I-1,3)+BAUM(I,1)
END DO
DO I=1,XMAX
BAUM(I,2)=2**BAUM(I,1)
BAUM(I,3)=2**BAUM(I,3)
END DO
BAUM(1,4)=0
DO I=2,XMAX
BAUM(I,4)=BAUM(I-1,4)+BAUM(I-1,3)
END DO
READ(10,1)ALGO
READ(10,3)SNDB
DO I=1,BAUM(XMAX,3)+BAUM(XMAX,4)
READ(10,4)(BUCH(I,J),J=1,8)
END DO
CLOSE(UNIT=10)
C...
C... DATENKONTROLLE
C...
TYPE 5,ZMAX
TYPE 6
DO I=1,XMAX
TYPE 7,BAUM(I,1)
END DO
TYPE 8,SNDB
C...
C... BERECHNUNG EINIGER KONSTANTEN
C...
VEKT=NPTS/ZMAX
NPTS1=VEKT*ZMAX
ISTAN1=INT(FLOAT(ISTAN)*FLOAT(NPTS)/FLOAT(NPTS1))
NAN1=INT(FLOAT(NAN)*FLOAT(NPTS)/FLOAT(NPTS1))
ESIG=0.
ERIF=0.
C...
C... LIEST EIN FRAME DES PRIMARY-FILES
C...
DO 160 JKL=1,NAN1
1 CALL GETD(NSC,ISTAN1,NPTS1,NPTS1,IR,LIR,IY,IIBR,
IFLPA,LENPA,LFILPA,NCWFH1,NDPBK,CWSC)
```

```

IF(IIBR,GE.0) GOTO 150
CALL MESG(I5,IFLPA)
GOTO 170
C...
C...   BERECHNUNG DER SIGNALENERGIE
C...
150   DO I=1,VEKT*ZMAX
      ESIG=ESIG+FLOAT(IY(I))*2.
      END DO
C...
C...   VEKTORQUANTISIERUNG
C...
      DO I=0,VEKT-1
        SINN=I*ZMAX
        FIND=1
        DO J=1,XMAX
          SUMM=1.E30
          MERK=(FIND-1)*BAUM(J,2)+BAUM(J,4)
          DO K=1,BAUM(J,2)
            QUAD=0.
            M=MERK+K
            DO L=1,ZMAX
              QUAD=QUAD+
                (FLOAT(IY(SINN+L))-
                 FLOAT(BUCH(M,L)))*2.
            END DO
            IF(QUAD.LT.SUMM)THEN
              SUCH=K
              SUMM=QUAD
            END IF
          END DO
          FIND=MERK+SUCH-BAUM(J,4)
        END DO
        DO J=1,ZMAX
          IY(SINN+J)=BUCH(BAUM(XMAX,4)+FIND,J)
        END DO
        EDIF=EDIF+SUMM
      END DO
      CALL WRITD(NSC,ISTAN1,ISDB1,NPTS1,IS,LIS,IY,IIBW,
1         IFLSA,LENSA,LFILSA,NCWFH,NDPBK,CWSC)
      IF(IIBW,GE.0) GOTO 160
      CALL MESG(I5,IFLSA)
      GOTO 170
160   CONTINUE
      IIBW=-IIBW
      CALL WRITD(NSC,ISTAN1,ISDB1,NPTS1,IS,LIS,IY,IIBW,
1         IFLSA,LENSA,LFILSA,NCWFH,NDPBK,CWSC)
C...
C...   BERECHNUNG DES SIGNAL/RAUSCH-VERHAELTNISSES
C...
      IF(EDIF.EQ.0.)THEN
        TYPE *,'Optimale Quantisierung !'
      ELSE
        IF(ESIG.NE.0.)THEN
          SNDB=10*ALOG10(ESIG/EDIF)
          TYPE 9,SNDB
        ELSE
          TYPE *,'Testsignal ist NULL !'
        END IF
      END IF
C...
170   CALL WCOMM
      CALL EXILS
      STOP
1     FORMAT(I4)
2     FORMAT(10I4)
3     FORMAT(F10.4)
4     FORMAT(8I6)
5     FORMAT(' ', 'Samples/Vektor           : ', I4)
6     FORMAT(' ', 'Baumstruktur             : ', $)
7     FORMAT('+', I4, $)
8     FORMAT(' ', 'Stoerabstand (Trainingsdaten) : ', F9.4, ' dB')
9     FORMAT(' ', 'Stoerabstand (Testdaten)   : ', F9.4, ' dB')
      END

```



8.2 Ergebnisse der Untersuchungen

VEKTORLAENGE 1-8, 1 BIT/SAMPLE

FULL-SEARCH

1  
1 0 0 0 0 0 0 0 0 0  
1  
2,5952  
2  
2 0 0 0 0 0 0 0 0 0  
1  
7,4947  
3  
3 0 0 0 0 0 0 0 0 0  
1  
10,1886  
4  
4 0 0 0 0 0 0 0 0 0  
1  
11,2450  
5  
5 0 0 0 0 0 0 0 0 0  
1  
12,5864  
6  
6 0 0 0 0 0 0 0 0 0  
1  
13,7458  
7  
7 0 0 0 0 0 0 0 0 0  
1  
14,7298  
8  
8 0 0 0 0 0 0 0 0 0  
1  
15,5923

VEKTORLAENGE 1-8, 1 BIT/SAMPLE

BINARY-TREE-SEARCH

1  
1 0 0 0 0 0 0 0 0 0  
1  
2,5952  
2  
1 1 0 0 0 0 0 0 0 0  
1  
7,3221  
3  
1 1 1 0 0 0 0 0 0 0  
1  
9,5284  
4  
1 1 1 1 0 0 0 0 0 0  
1  
10,4713  
5  
1 1 1 1 1 0 0 0 0 0  
1  
11,5778  
6  
1 1 1 1 1 1 0 0 0 0  
1  
12,9172  
7  
1 1 1 1 1 1 1 0 0 0  
1  
13,6192  
8  
1 1 1 1 1 1 1 1 0 0  
1  
14,4216

VEKTORLAENGE 1-4, 2 BIT/SAMPLE

FULL-SEARCH

1  
2 0 0 0 0 0 0 0 0 0  
1  
7,9403  
2  
4 0 0 0 0 0 0 0 0 0  
1  
14,6507  
3  
6 0 0 0 0 0 0 0 0 0  
1  
17,5665  
4  
8 0 0 0 0 0 0 0 0 0  
1  
20,3634

VEKTORLAENGE 1-4, 2 BIT/SAMPLE

BINARY-TREE-SEARCH

1  
1 1 0 0 0 0 0 0 0 0  
1  
7,7473  
2  
1 1 1 1 0 0 0 0 0 0  
1  
14,3243  
3  
1 1 1 1 1 1 0 0 0 0  
1  
16,4817  
4  
1 1 1 1 1 1 1 1 0 0  
1  
19,2632



```
8
2 1 1 2 0 0 0 0 0 0
1
11.7037
8
1 1 2 2 0 0 0 0 0 0
1
11.6958
8
1 2 1 2 0 0 0 0 0 0
1
11.6943
8
2 2 1 1 0 0 0 0 0 0
1
11.5682
8
1 2 2 1 0 0 0 0 0 0
1
11.5424
8
2 1 2 1 0 0 0 0 0 0
1
11.5090
8
1 1 1 1 1 1 0 0 0 0
1
11.3628
AUSGEWAEHLTE BAEUME
=====
VEKTORLAENGE 8, 0.875 BIT/SAMPLE
-----
8
7 0 0 0 0 0 0 0 0 0
1
13.9742
8
2 2 1 2 0 0 0 0 0 0
1
13.3801
8
1 2 2 2 0 0 0 0 0 0
1
13.3323
8
2 1 2 2 0 0 0 0 0 0
1
13.3224
8
2 2 2 1 0 0 0 0 0 0
1
13.2238
8
1 1 1 1 1 1 1 0 0 0
1
12.9067
```

```
AUSGEWAEHLTE BAEUME
=====
VEKTORLAENGE 8, 1 BIT/SAMPLE
-----
8
8 0 0 0 0 0 0 0 0 0
1
15.5923
8
4 4 0 0 0 0 0 0 0 0
1
15.3723
8
2 2 2 2 0 0 0 0 0 0
1
14.9174
8
1 1 1 1 1 1 1 1 0 0
1
14.4216
AUSGEWAEHLTE BAEUME
=====
VEKTORLAENGE 8, 1.125 BIT/SAMPLE
-----
8
3 3 3 0 0 0 0 0 0 0
1
16.8005
8
1 2 2 2 2 0 0 0 0 0
1
16.3752
8
1 1 1 1 1 1 1 1 1 0
1
15.9203
AUSGEWAEHLTE BAEUME
=====
VEKTORLAENGE 8, 1.25 BIT/SAMPLE
-----
8
5 5 0 0 0 0 0 0 0 0
1
18.7241
8
2 2 2 2 2 0 0 0 0 0
1
18.1471
8
1 1 1 1 1 1 1 1 1 1
1
17.5215
```

NEUE STRATEGIE  
=====

VEKTORLAENGE 4, 1 BIT/SAMPLE  
-----

4  
1 1 1 1 0 0 0 0 0 0  
2  
10.5123

NEUE STRATEGIE  
=====

VEKTORLAENGE 4, 1.25 BIT/SAMPLE  
-----

4  
1 1 1 1 1 0 0 0 0 0  
2  
12.7059

NEUE STRATEGIE  
=====

VEKTORLAENGE 4, 1.5 BIT/SAMPLE  
-----

4  
2 2 2 0 0 0 0 0 0 0  
2  
15.5167

NEUE STRATEGIE  
=====

VEKTORLAENGE 4, 1.75 BIT/SAMPLE  
-----

4  
1 1 1 1 1 1 1 0 0 0  
2  
15.0890

NEUE STRATEGIE  
=====

VEKTORLAENGE 4, 2 BIT/SAMPLE  
-----

4  
1 1 1 1 1 1 1 1 0 0  
2  
17.2274

NEUE STRATEGIE  
=====

VEKTORLAENGE 4, 2 BIT/SAMPLE  
-----

4  
1 1 1 1 1 1 1 1 0 0  
2  
19.1987

NEUE STRATEGIE  
=====

VEKTORLAENGE 8, 0.5 BIT/SAMPLE  
-----

8  
1 1 1 1 0 0 0 0 0 0  
2  
7.8317

NEUE STRATEGIE  
=====

VEKTORLAENGE 8, 0.625 BIT/SAMPLE  
-----

8  
1 1 1 1 1 0 0 0 0 0  
2  
9.6893

NEUE STRATEGIE  
=====

VEKTORLAENGE 8, 0.75 BIT/SAMPLE  
-----

8  
2 2 2 0 0 0 0 0 0 0  
2  
11.8158

NEUE STRATEGIE  
=====

VEKTORLAENGE 8, 0.75 BIT/SAMPLE  
-----

8  
1 1 1 1 1 1 0 0 0 0  
2  
11.2790

NEUE STRATEGIE  
=====

VEKTORLAENGE 8, 0.875 BIT/SAMPLE  
-----

8  
1 1 1 1 1 1 1 0 0 0  
2  
12.8277

NEUE STRATEGIE  
=====

VEKTORLAENGE 8, 1 BIT/SAMPLE  
-----

8  
2 2 2 2 0 0 0 0 0 0  
2  
14.4196

NEUE STRATEGIE  
=====

VEKTORLAENGE 8, 1.125 BIT/SAMPLE  
-----

8  
1 1 1 1 1 1 1 1 0 0  
2  
14.3382

NEUE STRATEGIE  
=====

VEKTORLAENGE 8, 1.25 BIT/SAMPLE  
-----

8  
3 3 3 0 0 0 0 0 0 0  
2  
16.6293

NEUE STRATEGIE  
=====

VEKTORLAENGE 8, 1.25 BIT/SAMPLE  
-----

8  
1 1 1 1 1 1 1 1 1 0  
2  
15.8133

NEUE STRATEGIE  
=====

VEKTORLAENGE 8, 1.25 BIT/SAMPLE  
-----

8  
1 1 1 1 1 1 1 1 1 1  
2  
17.3619

NEUE STRATEGIE  
=====

VEKTORLAENGE 8, 1.25 BIT/SAMPLE  
-----

8  
2 2 2 2 2 0 0 0 0 0  
2  
16.7444

OPTIMALE BAEUME

=====

VEKTORLAENGE 4, 1 BIT/SAMPLE

-----  
4  
4 0 0 0 0 0 0 0 0 0  
1  
11.2450  
4  
2 2 0 0 0 0 0 0 0 0  
1  
10.9471  
4  
1 1 1 1 0 0 0 0 0 0  
1  
10.4713

OPTIMALE BAEUME

=====

VEKTORLAENGE 4, 1.25 BIT/SAMPLE

-----  
4  
5 0 0 0 0 0 0 0 0 0  
1  
13.6389  
4  
1 2 2 0 0 0 0 0 0 0  
1  
13.1751  
4  
1 1 1 1 1 0 0 0 0 0  
1  
12.5714

OPTIMALE BAEUME

=====

VEKTORLAENGE 4, 1.5 BIT/SAMPLE

-----  
4  
6 0 0 0 0 0 0 0 0 0  
1  
16.0424  
4  
3 3 0 0 0 0 0 0 0 0  
1  
15.8731  
4  
2 2 2 0 0 0 0 0 0 0  
1  
15.6494  
4  
1 1 1 1 1 1 0 0 0 0  
1  
14.9846

OPTIMALE BAEUME

=====

VEKTORLAENGE 4, 1.75 BIT/SAMPLE

-----  
4  
7 0 0 0 0 0 0 0 0 0  
1  
18.2979  
4  
1 2 2 2 0 0 0 0 0 0  
1  
17.5533  
4  
1 1 1 1 1 1 1 0 0 0  
1  
17.1707

OPTIMALE BAEUME

=====

VEKTORLAENGE 4, 2 BIT/SAMPLE

-----  
4  
8 0 0 0 0 0 0 0 0 0  
1  
20.3634  
4  
4 4 0 0 0 0 0 0 0 0  
1  
20.2528  
4  
2 2 2 2 0 0 0 0 0 0  
1  
19.9020  
4  
1 1 1 1 1 1 1 1 0 0  
1  
19.2632

OPTIMALE BAEUME

=====

VEKTORLAENGE 8, 0.5 BIT/SAMPLE

-----  
8  
4 0 0 0 0 0 0 0 0 0  
1  
8.4593  
8  
2 2 0 0 0 0 0 0 0 0  
1  
8.0214  
8  
1 1 1 1 0 0 0 0 0 0  
1  
7.6909

OPTIMALE BAEUME

=====

VEKTORLAENGE 8, 0.625 BIT/SAMPLE

-----  
8  
5 0 0 0 0 0 0 0 0 0  
1  
10.3691  
8  
1 2 2 0 0 0 0 0 0 0  
1  
9.9797  
8  
1 1 1 1 1 0 0 0 0 0  
1  
9.5595

OPTIMALE BAEUME

=====

VEKTORLAENGE 8, 0.75 BIT/SAMPLE

-----  
8  
6 0 0 0 0 0 0 0 0 0  
1  
12.2052  
8  
3 3 0 0 0 0 0 0 0 0  
1  
12.0152  
8  
2 2 2 0 0 0 0 0 0 0  
1  
11.8148  
8  
1 1 1 1 1 1 0 0 0 0  
1  
11.3628

OPTIMALE BAEUME  
=====

VEKTORLAENGE 8, 0.875 BIT/SAMPLE

8  
7 0 0 0 0 0 0 0 0 0  
1  
13.9742  
8  
1 2 2 2 0 0 0 0 0 0  
1  
13.3323  
8  
1 1 1 1 1 1 1 0 0 0  
1  
12.9067

OPTIMALE BAEUME  
=====

VEKTORLAENGE 8, 1 BIT/SAMPLE

8  
8 0 0 0 0 0 0 0 0 0  
1  
15.5923  
8  
4 4 0 0 0 0 0 0 0 0  
1  
15.3723  
8  
2 2 2 2 0 0 0 0 0 0  
1  
14.9174  
8  
1 1 1 1 1 1 1 1 0 0  
1  
14.4216

OPTIMALE BAEUME  
=====

VEKTORLAENGE 8, 1.125 BIT/SAMPLE

8  
3 3 3 0 0 0 0 0 0 0  
1  
16.8005  
8  
1 2 2 2 2 0 0 0 0 0  
1  
16.3752  
8  
1 1 1 1 1 1 1 1 1 0  
1  
15.9203

OPTIMALE BAEUME  
=====

VEKTORLAENGE 8, 1.25 BIT/SAMPLE

8  
5 5 0 0 0 0 0 0 0 0  
1  
18.7241  
8  
2 2 2 2 2 0 0 0 0 0  
1  
18.1471  
8  
1 1 1 1 1 1 1 1 1 1  
1  
17.5215

RESIDUAL-CODEBUECHER  
=====

VEKTORLAENGE 4, 1 BIT/SAMPLE

4  
4 0 0 0 0 0 0 0 0 0  
1  
8.0444  
4  
2 2 0 0 0 0 0 0 0 0  
1  
7.8832  
4  
1 1 1 1 0 0 0 0 0 0  
1  
7.4772

RESIDUAL-CODEBUECHER  
=====

VEKTORLAENGE 4, 1.25 BIT/SAMPLE

4  
5 0 0 0 0 0 0 0 0 0  
1  
9.8436  
4  
1 2 2 0 0 0 0 0 0 0  
1  
9.0781  
4  
1 1 1 1 1 0 0 0 0 0  
1  
8.8768

RESIDUAL-CODEBUECHER  
=====

VEKTORLAENGE 4, 1.5 BIT/SAMPLE

4  
6 0 0 0 0 0 0 0 0 0  
1  
11.4462  
4  
3 3 0 0 0 0 0 0 0 0  
1  
10.9975  
4  
2 2 2 0 0 0 0 0 0 0  
1  
10.9287  
4  
1 1 1 1 1 1 0 0 0 0  
1  
10.2877

RESIDUAL-CODEBUECHER  
=====

VEKTORLAENGE 4, 1.75 BIT/SAMPLE

4  
7 0 0 0 0 0 0 0 0 0  
1  
12.9146  
4  
1 2 2 2 0 0 0 0 0 0  
1  
12.1764  
4  
1 1 1 1 1 1 1 0 0 0  
1  
11.8825

RESIDUAL-CODEBUECHER  
=====

VEKTORLAENGE 4, 2 BIT/SAMPLE  
-----  
4  
8 0 0 0 0 0 0 0 0 0  
1  
14.4743  
4  
4 4 0 0 0 0 0 0 0 0  
1  
14.1975  
4  
2 2 2 2 0 0 0 0 0 0  
1  
13.8383  
4  
1 1 1 1 1 1 1 1 0 0  
1  
13.2907

RESIDUAL-CODEBUECHER  
=====

VEKTORLAENGE 8, 0.5 BIT/SAMPLE  
-----  
8  
4 0 0 0 0 0 0 0 0 0  
1  
6.0170  
8  
2 2 0 0 0 0 0 0 0 0  
1  
5.8828  
8  
1 1 1 1 0 0 0 0 0 0  
1  
5.3589

RESIDUAL-CODEBUECHER  
=====

VEKTORLAENGE 8, 0.625 BIT/SAMPLE  
-----  
8  
5 0 0 0 0 0 0 0 0 0  
1  
7.4717  
8  
1 2 2 0 0 0 0 0 0 0  
1  
6.9673  
8  
1 1 1 1 1 0 0 0 0 0  
1  
6.7864

RESIDUAL-CODEBUECHER  
=====

VEKTORLAENGE 8, 0.75 BIT/SAMPLE  
-----  
8  
6 0 0 0 0 0 0 0 0 0  
1  
8.8156  
8  
3 3 0 0 0 0 0 0 0 0  
1  
8.5368  
8  
2 2 2 0 0 0 0 0 0 0  
1  
8.3153  
8  
1 1 1 1 1 1 0 0 0 0  
1  
7.9730

RESIDUAL-CODEBUECHER  
=====

VEKTORLAENGE 8, 0.875 BIT/SAMPLE  
-----  
8  
7 0 0 0 0 0 0 0 0 0  
1  
10.1478  
8  
1 2 2 2 0 0 0 0 0 0  
1  
9.3923  
8  
1 1 1 1 1 1 1 0 0 0  
1  
9.1574

RESIDUAL-CODEBUECHER  
=====

VEKTORLAENGE 8, 1 BIT/SAMPLE  
-----  
8  
8 0 0 0 0 0 0 0 0 0  
1  
11.3920  
8  
4 4 0 0 0 0 0 0 0 0  
1  
11.0712  
8  
2 2 2 2 0 0 0 0 0 0  
1  
10.8303  
8  
1 1 1 1 1 1 1 1 0 0  
1  
10.4020

RESIDUAL-CODEBUECHER  
=====

VEKTORLAENGE 8, 1.125 BIT/SAMPLE  
-----  
8  
3 3 3 0 0 0 0 0 0 0  
1  
12.2411  
8  
1 2 2 2 2 0 0 0 0 0  
1  
11.9102  
8  
1 1 1 1 1 1 1 1 1 0  
1  
11.6345

RESIDUAL-CODEBUECHER  
=====

VEKTORLAENGE 8, 1.25 BIT/SAMPLE  
-----  
8  
5 5 0 0 0 0 0 0 0 0  
1  
13.7229  
8  
2 2 2 2 2 0 0 0 0 0  
1  
13.3252  
8  
1 1 1 1 1 1 1 1 1 1  
1  
12.8206

8.3 Verzeichnis der benutzten Formelzeichen

---

$k$	Vektorlänge
$x_i$	Abtastwert
$\bar{x}$	Gleichspannungsanteil
$\vec{X}_i$	Sprachsignalvektor
$L$	Anzahl der Trainingsvektoren
$\vec{Y}_j$	Codebuchvektor
$n_j$	Anzahl der Vektoren des Clusters $j$
$d(\vec{X}_i, \vec{Y}_j)$	Abstand der Vektoren $\vec{X}_i$ und $\vec{Y}_j$
$\vec{A}$	Codebuch
$\vec{A}_i$	Codebuch auf der $i$ -ten Knotenebene
$\vec{B}$	Baumstruktur
$\vec{C}$	Baumstrukturiertes Codebuch
$m$	Anzahl der Knotenebenen
$N$	Codebuchgröße
$N'_i$	Zahl der Aufspaltungen eines Knotens der $(i-1)$ -ten Ebene
$N_i$	Anzahl der Vektoren auf der $i$ -ten Knotenebene



R	Informationsgehalt pro Vektor
$R'_i$	Zahl der binären Entscheidungen, um von der (i-1)-ten auf die i-te Knotenebene zu gelangen
$R_i$	Zahl der binären Entscheidungen, um auf die i-te Knotenebene zu gelangen
r	Informationsgehalt pro Sample
$E_{sig}$	Signalenergie
$E_{dif}$	Störenergie
SNR	Signal/Rauschverhältnis
$\mathcal{E}$	Abbruchkriterium
$n_B$	Zahl der möglichen Baumstrukturen
$n_d$	Anzahl der zu berechnenden Abstände
$n_x$	Anzahl der Multiplikationen
$n_+$	Anzahl der Additionen
M	Speichergröße (Vektoren)
S	Speichergröße (Vektorkomponenten)